

MASARYKOVA UNIVERZITA

Přírodovědecká fakulta

Ústav teoretické fyziky a astrofyziky



## DIPLOMOVÁ PRÁCE

### Výpočet dráhových elementů planetek a výpočet efemerid

Bc. Michaela Honková

Vedoucí diplomové práce: Ing. Jana Tichá

2008

Zde bych ráda poděkovala vedoucí práce Ing. Janě Tiché z Observatoře Kleť za pomocnou ruku při závěrečných korekturách práce a panu Miloši Tichému z téže observatoře za neocenitelné rady, vstřícný přístup i četné konzultace, které umožnily napsat tuto práci tak, jak ji nyní předkládám.

Prohlašuji, že jsem svou diplomovou práci napsala samostatně a výhradně s použitím citovaných pramenů. Souhlasím se zapůjčováním práce a jejím zveřejňováním.

V Brně dne

Bc. Michaela Honková

## Abstrakt:

Tato práce se zabývá výpočtem dráhových elementů planetek a výpočtem efemeridy – tedy pozice tělesa na obloze v předem stanovený okamžik. Zmiňuje vývoj porozumění pojmu planetka. Dále začíná předběžným určením dráhy, provedeným metodou Väisälä, a popisuje a aplikuje Gaussovu metodu pro určení definitivní dráhy. Poukazuje na problémy provázející Gaussovu metodu, zejména její citlivost vůči nepřesnostem určení dráhy Země, vstupující do výpočtu. Navrhuje možné další kroky pro zpřesnění dráhy. Pozorování provedená v rámci této práce byla odeslána Minor Planet Center a přispěla k zpřesnění drah pozorovaných těles.

Klíčová slova: planetka, dráha, efemerida

## Abstract:

This work deals with computation of orbital parameters of minor planets and computation of ephemerides - the position of the body on sky in given time. Also, development of understanding of a term 'minor planet' is mentioned. Then the work begins with preliminary orbit determination carried out by method of Väisälä and describes and applies Gauss method to determine final orbital parameters. It points out weak points of method of Gauss, especially its great sensitivity to accuracy of Earths orbit parameters entering the calculations. The work suggests possible further steps to enhance the methods performance. The observations of minor planets carried out within this work were sent to Minor Planet Center and helped to refine the orbit parameters of the observed bodies.

Keywords: asteroid, minor planet, orbit, ephemeris

# Obsah

<b>1</b>	<b>Úvod</b>	<b>6</b>
<b>2</b>	<b>Vývoj pojmu planetka</b>	<b>8</b>
<b>3</b>	<b>Užité metody</b>	<b>12</b>
3.1	Časy a souřadnice . . . . .	12
3.2	Korekce . . . . .	13
3.2.1	Planetární aberace . . . . .	13
3.2.2	Paralaxa . . . . .	14
3.2.3	Precese a Nutace . . . . .	14
3.3	Výpočet efemerid . . . . .	15
3.4	Metoda Väisälä . . . . .	20
3.5	Gaussova metoda výpočtu dráhy ze tří pozorování . . . . .	21
3.5.1	Výpočet pomocných veličin . . . . .	22
3.5.2	Aproximace . . . . .	23
3.5.3	Zlepšení approximace . . . . .	25
3.5.4	Určení elementů dráhy . . . . .	28
<b>4</b>	<b>Vlastní realizace</b>	<b>33</b>
4.1	Výpočtový program . . . . .	33
4.2	Dostupná vstupní data . . . . .	33
4.3	Výpočet dráhy vybraných těles . . . . .	35
4.3.1	Vzorové těleso . . . . .	35
4.3.2	Planetka 2008 CN1 . . . . .	36
4.3.3	Planetka 2008 CK70 . . . . .	39
<b>5</b>	<b>Shrnutí</b>	<b>42</b>
<b>Literatura</b>		<b>44</b>



# Kapitola 1

## Úvod

Tato práce se zabývá výpočtem dráhových elementů planetek a výpočtem efemerid. Ve svém úkolu tak navazuje na bakalářskou práci [3], jejímž úkolem bylo získat metodu vhodnou k určení předběžné dráhy, umožňující sledovat těleso dostatečně dlouho pro použití důkladnější metody výpočtu dráhy, kterou se zabývám v této práci. Samotná práce je rozdělena do tří hlavních celků.

Jelikož se v této práci zabývám planetkami, první kapitola objasňuje, co se v průběhu času pod pojmem planetka rozumělo, a zahrnuje náhled od dob objevu Ceres až po velká transneptunická tělesa jako je Eris.

Druhá kapitola je věnována teoretickým znalostem, na nichž je práce vy stavěna, a objasňuje použité postupy. Začíná letmou zmínkou často používaných časů a souřadnic a pokračuje přes různé typy korekcí - objasňuje, které z nich a proč je třeba do této práce zahrnout. Popisuje použitý způsob výpočtu efemerid, zmiňuje metodu Väisälä a věnuje se zevrubnému matematickému postupu Gaussovy metody, a to dostatečně podrobně, aby ji bylo možno následováním očíslovaných vzorců použít k vlastním výpočtům.

V třetí části je zmiňován program, vytvořený pro účely této práce, a provedená pozorování malých těles sluneční soustavy. Program je otestován na vzorovém tělese a následně použit pro výpočet dráh dvou z pozorovaných těles. Výsledné dráhy jsou srovnány s drahami spočtenými JPL [7].

Vzhledem k rozsahu této práce nebylo možno se zabývat poruchovými drama-  
hami, v závěru je však kromě shrnutí základních poznatků práce nastíněn  
také další postup, kterým je možné se ubírat.

## Kapitola 2

### Vývoj pojmu planetka

Od dávných dob lidé rozlišovali na obloze hvězdy, a pohybující se Měsíc, Slunce a planety. Komety byly pod vlivem aristotelovského učení v Evropě považovány za atmosférický jev, a jako takovým jim nebyla věnována patřičná pozornost. Prvním, kdo tyto názory zpochybnil, byl Tycho Brahe, kterému se nepodařilo změřit parallaxu komety v roce 1577. Proto konstatoval, že kometa musí být alespoň dvěstěkrát daleko od Země než Měsíc, a nemůže tedy jít o atmosférický úkaz. O téměř dvě století později Edmund Halley rozlišil tři zaznamenané komety jako různé návraty stejného tělesa a předpověděl její další návrat na rok 1758, kterého se bohužel nedožil.

O jedno desetiletí později, v roce 1766, přišel Titius s myšlenkou matematické řady pro vyjádření vzdáleností planet od Slunce, známé jako Titius-Bodeova řada. Následný Herschelův objev Uranu se zdál platnost této řady potvrzovat, a tak na jejím základě astronomové usoudili, že mezi Marsem a Jupiterem se nachází další, dosud neobjevená planeta, kterou tato řada předpovídá. Za účelem nalezení nové planety zorganizovali v roce 1800 první astronomický mezinárodní projekt. Planeta byla objevena italským astronomem Giuseppem Piazzim v lednu roku 1801, a sám Piazzi její velikost odhadoval na srovnatelnou s velikostí Země. Asi měsíc po objevu byla planeta ztracena. Její nalezení umožnil až geniální matematik Gauss, který vytvořil vhodnou metodu k výpočtu druh planetek a předpověděl polohu Ceres pro leden následujícího roku. Planetka byla na předpokládaném místě skutečně nalezena, a Gaussova metoda se s drobnými obměnami úspěšně používá dodnes.

Během dalších padesáti let vzrostl počet objevených planet o 16, včetně objevu planety Neptun výpočtem založeným na jeho gravitačním působení na Uran. Do roku 1855 byly planety mezi Marsem a Jupiterem považovány za velikostí srovnatelné s ostatními terestrickými planetami sluneční soustavy, a byly jim také přidělovány příslušné grafické symboly. Jejich počet však narůstal a s pokrokem v technice bylo možné získat lepší odhad jejich rozměrů - zmenšily se na velikost nedůstojnou i pro tehdy známé měsíce, a proto byla tato tělesa přeřazena - začala být označována jako asteroidy<sup>1</sup> (hvězdám podobné) či planetky<sup>2</sup>. O půl století a více jak čtyři stovky objevených plane-

Planet.	New Symbol.	Old Symbol.
<i>Ceres</i> ,	(1)	♀
<i>Pallas</i> ,	(2)	♀
<i>Juno</i> ,	(3)	⊕
<i>Vesta</i> ,	(4)	⊕
<i>Astraea</i> ,	(5)	↑
<i>Hebe</i> ,	(6)	⌚
<i>Iris</i> ,	(7)	⌚
<i>Flora</i> ,	(8)	⌚
<i>Metis</i> ,	(9)	⊗
<i>Hygea</i> ,	(10)	⊗
<i>Parthenope</i> ,	(11)	⊗
<i>Clio</i> ,	(12)	⊗
<i>Egeria</i> ,	(13)	
<i>Irene</i> ,	(14)	
<i>Eunomia</i> ,	(15)	⌚

Obrázek 2.1: Symboly 'planet' mezi Marsem a Jupiterem

tek později astronomové začali spekulovat o možném nalezení další planety, nacházející se za Neptunem, právě z gravitačního působení 'Planety X' na Uran - vliv Neptunu totiž nebyl schopen zcela vysvětlit pozorovanou dráhu Uranu<sup>3</sup>.

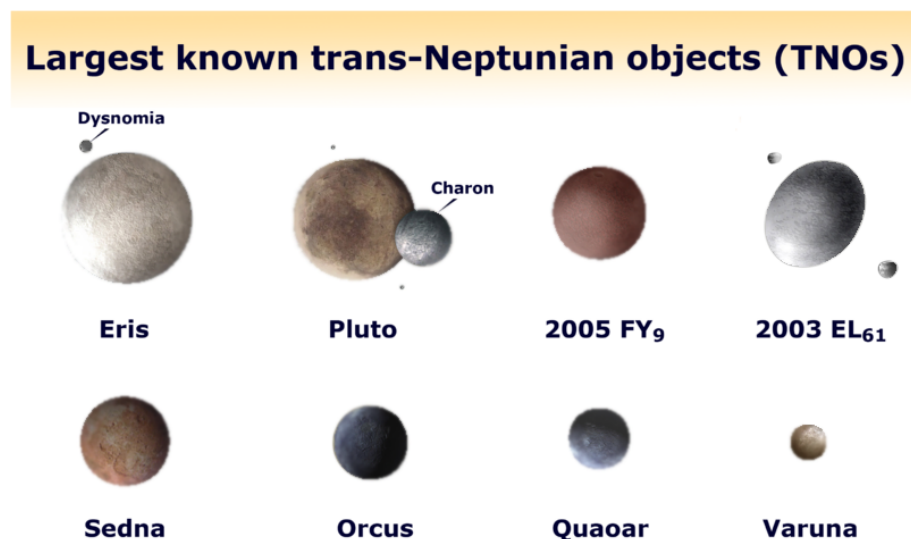
<sup>1</sup>Název asteroidy byl poprvé použit Herschelem již v roce 1802, v astronomické komunitě se však zpočátku neuchytíl.

<sup>2</sup>Název poprvé použit roku 1841 v britském 'The Nautical Almanac and Astronomical Ephemeris' pro rok 1845.

<sup>3</sup>Tomu bylo tak proto, že hmotnost Neptunu nebyla známa dostatečně přesně. Opravy se dočkala až v roce 1989, kdy pomocí pozorování dráhy kosmické sondy Voyager 2 byla stanovena přesnější hodnota.

Planetu se však nepodařilo nalézt až do roku 1930, kdy v únoru americký astronom Clyde W. Tombaugh objevil Pluto.

Během následujících let byla opakován odhadovaná hmotnost Pluta zmenšována. Roku 1992 bylo po několikaletém hledání Davidem Jewittem a Jane Luu objeveno další těleso za drahou Neptunu - planetka (15760) 1992 QB1. Situace, do které se o jeden a půl století dříve dostala planetka Ceres se opakovala, astronomové začali nabývat přesvědčení, že Pluto by se mělo přesunout do kategorie planetek - přesto však zůstávalo dále planetou. Další objevy vzdálených planetek však následovaly a v roce 2003 byla za Neptunem objevena planetka Eris, těleso větší než samotné Pluto. Situace Pluta byla nadále neudržitelná a v srpnu roku 2006 se v Praze konal kongres Mezinárodní Astronomické Unie, který měl rozhodnout o jeho dalším osudu. Výnosem kongresu IAU 2006 je nově definován pojem planetka i planeta, je



Obrázek 2.2: Největší známá tělesa za drahou Neptunu

zavedena nová kategorie trpasličí planeta. Podle této nové definice je planeta těleso, které obíhá kolem Slunce a není satelitem, je dostatečně hmotné na zaujmutí hydrostatické rovnováhy a také je ve svém okolí gravitačně dominantní - svojí gravitací vyčistilo okolí své dráhy. Pokud je těleso dostatečně hmotné na zaujetí hydrostatické rovnováhy, ale nikoliv již gravitačně do-

minantní ve svém okolí, nazýváme jej trpasličí planeta, a pokud nemá ani hmotnost potřebnou pro zaujetí hydrostatické rovnováhy, tak planetka. Tuto novou definici splňuje osm planet sluneční soustavy. Ceres, Eris a Pluto byly zařazeny jako trpasličí planety, a o umístění dalších těles do této kategorie se jedná.

# Kapitola 3

## Užité metody

### 3.1 Časy a souřadnice

Světový čas.

Je časem často užívaným v astronomii, a odpovídá času na nultém (Greenwichském) poledníku. Běžně se značí jako GMT (Greenwich Mean Time) nebo UT (Universal Time). V zimním období je tento čas jednu hodinu pozadu oproti SEČ (středoevropskému času), v letním období pak o dvě hodiny pozadu (oproti SELČ, středoevropskému letnímu času).

Juliánské datum.

Pohyb Země je do značné míry nepravidelný, a proto bylo zavedeno juliánské datum (JD), jako pravidelně plynoucí čas od jistého v minulosti dostatečně vzdáleného časového okamžiku (z definice poledne UT 1.1. 4713 př. n. l.). Dny juliánského data mají přesně 86400 sekund. Kromě toho bylo zavedeno také Modifikované juliánské datum (MJD), bez prvních dvou číslic juliánského data a posunuté na půlnoc:  $MJD = JD - 2400000.5$  UT.

Epocha.

Čas udávaný u parametrů dráhy. Jde o čas, pro který má těleso zapsané parametry dráhy, včetně střední anomálie  $M$ . Střední anomálie totiž určuje polohu tělesa na dráze v době zapsané epochy. Epocha bývá uváděna ve světlovém čase UT nebo v juliánském datu.

Ekvinokcium.

Je čas, pro jehož polohu jarního bodu platí některé typy souřadnic. Parameetry dráhy tělesa i rovníkové souřadnice II. druhu (rektascenze a deklinace) jsou vztahovány k poloze jarního bodu, a jelikož se poloha jarního bodu mění (viz precese a nutace), je nutné uvést čas, pro který uvedené souřadnice platí. Tímto časem je právě ekvinokcium.

Heliocentrické pravoúhlé ekliptikální souřadnice.

Středem souřadnic tohoto systému je střed Slunce a hlavním směrem směr k jarnímu bodu. Tři souřadné osy  $x, y, z$  jsou na sebe vzájemně kolmé a výsledné hodnoty  $X, Y, Z$  jsou uváděny v astronomických jednotkách (AU).

Sférické rovníkové souřadnice II. druhu.

Nejznámější z astronomických souřadnic. V krátkém časovém horizontu v řádu měsíců mají hvězdy pozice v těchto souřadnicích neměnné, což byl hlavní důvod k jejich zavedení. Hlavním směrem je směr k jarnímu bodu, v řádu let či déle se tedy bude projevovat efekt nepravidelnosti zemské rotace v pohybu jarního bodu, tedy i celého souřadného systému. Délkovou souřadnicí je rektascenze (R.A.,  $\alpha$ ), počítána obvykle v hodinové míře od jarního bodu v matematicky záporném směru, čili směrem východním. Rektascenze nabývá hodnot 0 až 24 hodin. Šířkovou souřadnicí je deklinace (Decl.,  $\delta$ ), počítána ve stupních. Deklinace může nabývat hodnot v rozmezí +90 až -90 stupňů.

## 3.2 Korekce

### 3.2.1 Planetární aberace

Planetární aberace je zapříčiněna konečnou rychlostí světla a pohybem planetky - v době, kdy světlo od planetky cestuje k pozorovateli, se planetka mezitím posunula na své dráze dále. Pro započtení planetární aberace potřebujeme znát vzdálenost od pozorovatele k planetce  $\rho$  v astronomických jednotkách (AU) v době pozorování  $t$ . Pak čas, ve kterém světlo planetku opustilo, je

$$t^\circ = t - A\rho, \quad (3.1)$$

kde  $A = 0.005772$  dne je čas, po který světlo letí 1 AU.

Planetární aberace je v této práci v průběhu určování parametrů dráhy započítávána. Kromě planetární aberace existují i jiné typy aberací, největší efekt z nich má roční (hvězdná) aberace. Jelikož je však pozice tělesa na obloze určována vzhledem k pozici okolních hvězd, na které hvězdná aberace také působí, není třeba ji započítávat. Ostatní typy aberací nemají v našem případě rozeznatelný efekt a budou proto zanedbány.

### 3.2.2 Paralaxa

Paralaxa je efekt způsobený promítáním polohy blízkého tělesa na pozadí vzdálených hvězd, kdy pozorovatel v různých polohách změří jiné souřadnice blízkého tělesa. Pozorování planetek jsou většinou prováděna ze zemského povrchu - jsou tedy topocentrická, ale výpočty drah i efemerid se obvykle provádějí pro střed Země - tedy geocentricky. Oprava o efekt paralaxy daný posunem pozorovatele ze středu Země do místa pozorování je obvykle ponechán samostatnému řešení.

Do výpočtu parametrů dráhy vstupuje pozice Země, kterou je možno zredukovat na pozici pozorovatele. Pozici Země je možno určit z parametrů dráhy Země. Ve většině dostupných katalogů ale pod parametry dráhy Země nenajdeme skutečné parametry dráhy Země, místo toho uvádí pro jednoduchost parametry barycentra Země-Měsíc. Jelikož aplikovat posun ze středu Země k pozorovateli na střed soustavy Země-Měsíc postrádá smysl, rozhodla jsem se v této práci paralaktickou korekci zanedbat. Takovéto zjednodušení je možno aplikovat pro většinu pozorovaných planetek. Pro blízkozemní tělesa, nacházející se v čase pozorování poblíž Země, však způsobuje nepřípustně velké chyby.

### 3.2.3 Precese a Nutace

Precese.

Zemská osa provádí tzv. precesní pohyb, kdy opisuje s periodou asi 26 000 let pomyslný kužel. Každý siderický rok, tedy když bude Země znova ve stejné poloze vůči hvězdám, proto bude zemská osa natočená trochu jiným směrem, právě v důsledku precesního pohybu. Zvolme si za sledovaný okamžik jarní rovnodennost - dobu, při které se Slunce nachází nad světovým rovníkem, a posunuje se k severní polokouli. Jelikož každý siderický rok bude zemská osa natočená trochu jinak, Slunce se bude na pozemské obloze

nacházet trochu jinde. A protože poloha Slunce na obloze v čase jarní rovnodennosti určuje jarní bod, bude se posouvat také jarní bod. K jarnímu bodu ale vztahujeme parametry dráhy tělesa, určující orientaci dráhy na obloze (argument šířky perihélia  $\omega$ , délku výstupného uzlu  $\Omega$ , sklon dráhy  $i$ ), takže tyto parametry dráhy se také budou díky precesi měnit. Proto je nutné uvádět u parametrů dráhy Ekvinokcium, tedy čas, pro jehož polohu jarního bodu uvedené parametry dráhy tělesa platí. Ekvinokcium je také uváděno u nejpoužívanějšího souřadného systému v astronomii - sférických rovníkových souřadnic II. druhu  $(\alpha, \delta)$ , jelikož jejich počátek je souhlasný s jarním bodem.

Nutace.

Zemská osa neopisuje přesný kužel, ale je periodicky vychylována slapovými jevy. Toto vychylování se označuje nutace a s precesním pohybem se sčítá.

Pozorování pro tuto diplomovou práci byla prováděna pouze po několik měsíců, proto efekt precese a nutace není podstatný a nebyl brán v úvahu.

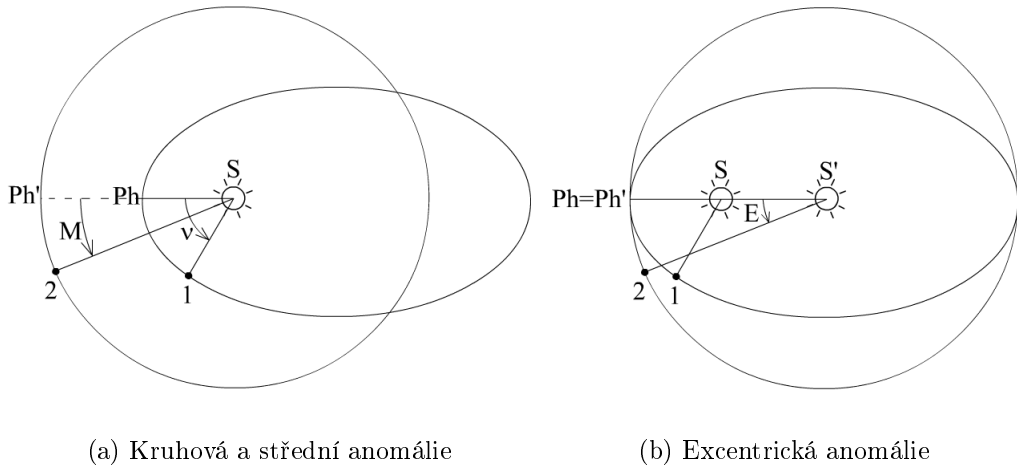
### 3.3 Výpočet efemerid

Efemeridou se rozumí výpis poloh tělesa na obloze v zadaných časových okamžicích. Pro tělesa sluneční soustavy je výpočet efemerid neoddělitelnou součástí přípravy pro pozorování tělesa, bez nichž bychom nevěděli, kde na obloze dané těleso hledat.

Základem pro získání efemeridy je znalost parametrů dráhy tělesa (pro epochu  $JD$  parametry  $a$ ,  $M_0$ ,  $e$ ,  $\omega$ ,  $i$ ,  $\Omega$  a  $n$ ) a času  $t$ , pro který polohu  $(\alpha, \delta)$  určujeme. Jelikož parametry dráhy Země známe, získáme snadno polohu tělesa na pozemské obloze. Při výpočtu používáme velkou poloosu  $a$ , je tedy zřejmé, že musí jít o uzavřené dráhy ( $e < 1$ ). Efemeridu pro parabolickou ( $e = 1$ ) a hyperbolickou ( $e > 1$ ) dráhu tímto způsobem nejsme schopni určit. Planetky mají dráhy obecně eliptické, pro účely této práce tedy tato metoda výpočtu efemerid postačuje.

Při výpočtu je nutné dbát na správný formát vkládaných úhlů - ideálně používáme radiány, pouze výsledky převedeme na stupně. Vyhne se tak omylům, které vznikají, když se pokoušíme sečítat číselné hodnoty se stupni místo radiány a podobně. Časy jsou uváděny v juliánském datu. Jelikož po-

stup tohoto výpočtu je téměř notoricky známý, vzorce nebudou odvozovány, ačkoliv jejich vysvětlení chybět nebude. Předpokládejme eliptickou dráhu



tělesa s oběžnou dobou  $P$ , v jejímž jednom ohnisku je Slunce  $S$ . Bod, kdy je těleso nejblíže ke Slunci pojmenováváme perihélium  $ph$ . Jelikož je dráha eliptická, těleso se pohybuje podle druhého Keplerova zákona nestejně velkou rychlostí. Pojmenujme úhel mezi průvodičem tělesa a perihéliem pravá anomálie  $\nu$ .

Představme si kruhovou dráhu o stejné době oběhu  $P$ . Těleso se po ní bude pohybovat konstantní velikostí rychlosti. Z toho plyne, že za jeden den urazí úhel  $n = 360^\circ/T$ , střední denní pohyb. Těleso nemá perihélium, je stále stejně daleko od Slunce - prodlužme si tedy spojnicí Slunce a perihélia  $ph$  a průsečík s kruhovou dráhou označme  $ph'$ . Za stejnou dobu  $t$ , za kterou opíše první těleso úhel  $\nu$ , urazí toto těleso úhel  $M$  zvaný střední anomálie.

Posuňme nyní kružnici tak, aby body  $ph$  a  $ph'$  splynuly. Tímto bodem obě tělesa prochází v čase  $T$ , v čase průchodu perihéliem. Protože jsme kruhovou dráhu posunuli, posunul se i bod  $S'$ , kolem kterého těleso 2 obíhá a není již dále totožný se Sluncem. Úhel mezi směrem z  $S'$  k perihéliu a tělesem 2, obíhajícím konstantní rychlostí po dráze s dobou oběhu  $P'$ , nazýváme excentrickou anomálií  $E$ .

Vzájemný vztah mezi těmito veličinami řeší Keplerova rovnice 3.3. Nejprve spočteme střední anomálii  $M_t$ , kde  $t_0$  je epocha, pro kterou máme vstupní elementy dráhy - určuje tedy, kdy těleso mělo v elementech dráhy uvedenou střední anomálii  $M_0$ . Čas  $t$  je okamžik, pro který nás poloha tělesa na obloze zajímá.

$$M_t = M_0 + n(t - t_0) \quad (3.2)$$

Keplerova rovnice nemá sama o sobě analytické řešení, je nutné ji řešit numericky pomocí iteračního postupu. V prvním přiblžení předpokládejme kruhovou dráhu, takže  $M = E$ . Spočteme nové  $E$ , znovu jej dosadíme a získáme zase přesnější  $E$ . Obvykle po 2-3 iteracích je přesnost  $E$  dostatečná, tedy  $E_{n+1} - E_n < \varepsilon$ .

$$E = M + e \sin E \quad (3.3)$$

Pravá anomálie je pak

$$\nu = 2 \arctan \left[ \sqrt{\frac{1+e}{1-e}} \cdot \tan \frac{E}{2} \right]. \quad (3.4)$$

Navíc můžeme snadno spočítat délku průvodiče, která udává vzdálenost tělesa od Slunce (či přesněji od gravitačního středu soustavy).

$$r = a(1 - e \cos E) \text{ [AU]}$$

Dále spočteme heliocentrické pravoúhlé ekliptikální souřadnice tělesa ( $X_T, Y_T, Z_T$ ) a Země ( $X_Z, Y_Z, Z_Z$ ), které jsou v astronomických jednotkách. Jejich rozdílem pak získáme souřadnice tělesa vůči Zemi, které převedeme na sférické rovníkové souřadnice II. druhu - rektascenzi  $\alpha$  a deklinaci  $\delta$ .

Heliocentrické pravoúhlé ekliptikální souřadnice tělesa:

$$X = R(\cos \Omega \cos L - \sin \Omega \sin L \cos i) \quad (3.5)$$

$$Y = R(\sin \Omega \cos L + \cos \Omega \sin L \cos i) \quad (3.6)$$

$$Z = R \sin L \sin i \quad (3.7)$$

$$R = \frac{a+b}{2} = \frac{a}{2} (1 + \sqrt{1 - e^2}) \quad (3.8)$$

$$L = \omega + \nu - \Omega \quad (3.9)$$

Elementy dráhy Země pro určitý čas jsou většinou pro zjednodušení vypočítány pro barycentrum Země-Měsíc, takže započítávat topocentrickou korekci nemá smysl. Pro tělesa v blízkosti Země je ale třeba pořídit si přesnější elementy dráhy, přímo pro Zemi, a topocentrickou korekci započítat.

Heliocentrické pravoúhlé ekliptikální souřadnice Země získáme znovu použitím rovnic 3.5 až 3.9.

Geocentrické pravoúhlé ekliptikální souřadnice tělesa, které mají střed posunut od Slunce do Země<sup>1</sup> spočteme

$$X = X_T - X_Z \quad (3.10)$$

$$Y = Y_T - Y_Z \quad (3.11)$$

$$Z = Z_T - Z_Z \quad (3.12)$$

Geocentrické sférické ekliptikální souřadnice převedou naši soustavu do sférického systému s ekliptikální délkou  $\lambda$  a ekliptikální šírkou  $\beta$ . Základní rovinou této soustavy je rovina ekliptiky a základním směrem směr k jarnímu bodu.

$$\lambda = \arctan(Y/X) \quad (3.13)$$

$$\beta = \arctan(Z/\Delta) \quad (3.14)$$

$$\Delta = \sqrt{X^2 + Y^2 + Z^2} \quad (3.15)$$

Sférické rovníkové souřadnice II. druhu  $\alpha, \delta$  jsou nakloněny o sklon zemské rotační osy k ekliptice  $\varepsilon = 23.438641^\circ$ . Od ekliptiky nahoru a dolů počítáme deklinaci  $\delta = <+90, -90>$ , od jarního bodu v matematicky kladném směru<sup>2</sup> rektascenzi  $\alpha = <0^h, 24^h>$ .

$$\delta = \arcsin(\sin \beta \cos \varepsilon + \cos \beta \sin \varepsilon \sin \lambda) \quad (3.16)$$

$$\alpha = \arccos\left(\frac{\cos \beta \cos \lambda}{\cos \delta}\right) \quad (3.17)$$

Souřadnice  $\alpha, \delta$  převedeme z radiánů na stupně a rektascenzi vydělíme patnácti, abychom ji měli v hodinové míře. Standartní zápis efemerid je používán ve tvaru

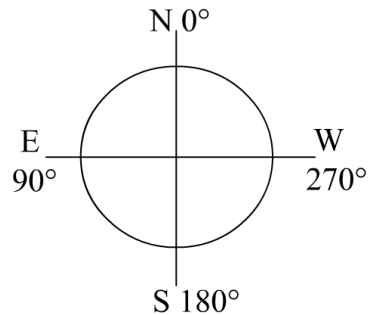
---

<sup>1</sup>resp. od gravitačního středu sluneční soustavy do barycentra Země-Měsíc, u přesnějších elementů dráhy Země pak do středu Země

<sup>2</sup>tedy proti směru hodinových ručiček

03337										
Date	UT	R.A. (J2000)	Decl.	Delta	r	El.	Ph.	V	Sky Motion	
		h m s							"/min	P.A.
2008 06 10	000000	17 39 22.2	-20 22 29	1.980	2.991	173.5	2.2	16.6	0.52	273.0
2008 06 11	000000	17 38 29.0	-20 21 50	1.978	2.990	174.5	1.9	16.6	0.52	273.0
2008 06 12	000000	17 37 35.7	-20 21 11	1.976	2.989	175.4	1.5	16.6	0.52	272.9
2008 06 13	000000	17 36 42.1	-20 20 32	1.975	2.989	176.2	1.3	16.5	0.52	272.9

(03337) je číslo planetky, pro které jsou efemeridy zapsány. Jako první údaj ke každé efemeridě zapisujeme čas ve formátu  $rrrr\ mm\ dd\ hhmmss$ , a to ve světovém čase. Následuje rektascenze  $\alpha$  a deklinace  $\delta$  pro uvedené ekvinokcium, v ukázce *J2000*. *Delta* je vzdálenost tělesa od pozorovatele v astronomických jednotkách (AU), *r* vzdálenost tělesa od Slunce, v AU. *El.*, Elongace, je úhel mezi směrem pohledu ke Slunci a k tělesu ve stupních. *Ph.* je Fáze, obdobná, jakou jeví například Venuše. Při výpočtu fáze se předpokládá těleso kulovitého tvaru. Fáze je měřena od středu kotoučku tělesa jako největší úhel ve stupních mezi dvěma směry k terminátoru tělesa, tedy linií mezi osvětlenou a neosvětlenou stranou. Fáze může nabývat hodnot mezi  $0^\circ$  a  $180^\circ$ . *V* označuje předpovězenou jasnost ve V fotometrickém filtru v magnitudách. *SkyMotion*:  $"/min\ P.A.$  udává rychlosť pohybu po obloze a poziciční úhel. Poziční úhel počítáme od severu ve stupních směrem k východu. Různí autoři mohou v efemeridách udávat různé veličiny, podle toho,



Obrázek 3.1: Poziční úhel

které se jim zdají vhodné vypočítat. V této práci se soustředí především na výpočty druh planetek, a proto výpočet ostatních veličin pro stručnost zanedbám.

## 3.4 Metoda Väisälä

Pro výpočet dráhových elementů jsou dostačující tři pozorování (předpokládáme-li naprostou přesnost měření), poskytuje nám totiž šest údajů, ze kterých je možno spočítat šest potřebných parametrů dráhy. Metoda Väisälä počítá dráhu pouze ze dvou pozorování, je tedy zřejmé, že ostatní "chybějící" data musí něčím nahradit - a to předpoklady. Při výpočtu dráhy touto metodou předpokládáme, že

(1) těleso se při druhém pozorování nachází ve svém perihéliu. Jelikož používáme předpoklady, které jsou vždy více či méně splněny, tato metoda není vhodná k určení definitivní dráhy. Užitečná je ale kdekoliv, kde nemáme ještě dost dlouhý oblouk dráhy k použití jiných metod výpočtu a potřebujeme pouze předpovědět polohu tělesa pro nejbližší dny a týdny, abychom prodloužili pozorovaný oblouk dráhy tělesa. Taková situace nastává především těsně po objevu tělesa, a jelikož bývají nové planetky objevovány často poblíž perihélia, je tento předpoklad oprávněný.

(2) známe vzdálenost tělesa od pozorovatele. Tento předpoklad je již hůře splnitelný, ale znova je možno využít statistického přístupu a nastavit vzdálenost tělesa při objevu na rozumných 2.6 AU, případně je možno vzdálenost kvalifikovaně odhadnout z rychlosti pohybu tělesa po obloze - tělesa poblíž Země budou velmi rychlá (i  $100''/\text{min}$ ), planetky hlavního pásu pomalejší ( $0.7''/\text{min}$ ), a tělesa Kuiperova pásu ještě pomalejší ( $0.04''/\text{min}$  i méně). Kromě toho i objevová pozorování mívají více než dva snímky - takže několika výpočty pro různé geocentrické vzdálenosti se můžeme docela úspěšně přiblížit hodnotě, která bude pro výpočet nepoužitých pozic lépe vyhovovat. Snažit se za každou cenu nalézt co nejpřesnější vzdálenost je zbytečné, metoda je natolik hrubá, že dráhu tímto způsobem nejde příliš zpřesnit. Navíc pro blízkozemní či velmi vzdálená tělesa, pro planetky, jejichž dráha je rušená gravitací jiných objektů, stejně jako pro tělesa, u nichž nejsou dobře splněny výše uvedené dva předpoklady, dostaneme nejspíše velmi nepřesnou, či zcela chybnou, dráhu.

Pro podrobnější popis metody Väisälä včetně jejího matematického popisu doporučuji literaturu [3].

### 3.5 Gaussova metoda výpočtu dráhy ze tří pozorování

V této části je stručně uvedená Gaussova metoda tak, jak jsem ji ve své práci využila. Pro podrobnější a rozsáhlejší výklad této metody doporučuji knihu [1]. Pro samotný výpočet slouží pouze očíslované vzorce. Během výpočtu musí veličiny splňovat také další vztahy v samotném výpočtu nepoužité - tyto vztahy slouží jako kontrola správnosti výpočtu.

Vstupními údaji Gaussovy metody jsou tři pozorování. Každé z pozorování sestává z času pozorování  $t$  uvedeném v UT, rektascenze  $\alpha$  a deklinace  $\delta$  pozorované planetky uvedené vzhledem k ekvinokciu roku pozorování a opravené o paralaxu - tedy vzdálené vzhledem ke středu Země. Navíc je třeba mít ke každému času pozorování heliocentrické pravoúhlé ekliptikální souřadnice Slunce  $X, Y$  a  $Z$ , a to ke stejnemu ekvinokciu, jako souřadnice planetky.

Při výběru pozorování je vhodné uvážit, že tato metoda není primárně určena pro výpočet dráh při velmi krátkém sledovaném oblouku dráhy - přesnost metody je v přiblížení úměrná ploše, vytyčené na obloze třemi použitými polohami planetky. Při krátkém oblouku dráhy doporučují využití väisälovské metody, rozebrané v [3].

Gaussova metoda výpočtu dráhy nejprve vykreslí ze tří pozic pozorovatele (tj. z pozice v časech  $t_1, t_2$  a  $t_3$ ) směry pohledu k tělesu. Pak je protne rovinou, procházející středem Slunce (přesněji gravitačním středem sluneční soustavy); a to tak, aby po vykreslení kuželosečky, procházející průsečíky směrů pohledu a roviny, v jejímž ohnisku je střed Slunce (resp. gravitační střed sluneční soustavy), splňovaly dvojnásobky ploch mezi 1. a 2. průvodcem  $[r_1 r_2]$ , a 2. a 3. průvodcem  $[r_2 r_3]$ , Keplerovy zákony. Gauss ukázal, že plochy mezi průvodci můžeme spočítat přesně i bez předchozí znalosti parametrů dráhy a oběžné doby tělesa, a proto tato metoda výpočtu nese jeho jméno. Tak získáme tři polohy tělesa v prostoru a určení parametrů dráhy se stává triviálním problémem.

### 3.5.1 Výpočet pomocných veličin

Geocentrické a heliocentrické souřadnice tělesa jsou spolu spřaženy vztahy:

$$\begin{aligned}\rho_i \cos \delta_i \cos \alpha_i &= x_i + X_i \\ \rho_i \cos \delta_i \sin \alpha_i &= y_i + Y_i \\ \rho_i \sin \delta_i &= z_i + Z_i\end{aligned}$$

pro  $i = 1, 2, 3,$

kde  $\rho_i$  je neznámá vzdálenost tělesa,  $\delta_i$  a  $\alpha_i$  ze snímku změřené souřadnice tělesa, známé heliocentrické souřadnice Slunce jsou  $X_i$ ,  $Y_i$  a  $Z_i$  a neznámé heliocentrické souřadnice tělesa  $x_i$ ,  $y_i$  a  $z_i$ . Podélíme-li rovnice  $\rho_i$ , získáme

$$a_i = \cos \delta_i \cos \alpha_i \quad (3.18)$$

$$b_i = \cos \delta_i \sin \alpha_i \quad (3.19)$$

$$c_i = \sin \delta_i \quad (3.20)$$

pro  $i = 1, 2, 3,$

kde  $a_i$ ,  $b_i$ ,  $c_i$  vytyčují směr pohledu k tělesu.

Kontrola:  $a_i^2 + b_i^2 + c_i^2 = 1$

Pak také platí pro heliocentrické souřadnice tělesa vztahy 3.42, 3.51 a 3.44. Vyjdeme z obecné rovnice roviny  $Ax + By + Cz + D = 0$ , a napíšeme ji pro každé pozorování. Pro netriviální případy, se zahrnutím ploch trojúhelníků vytyčených průvodiči, a substitucí těchto ploch za  $n_1 = [r_2 r_3]/[r_1 r_3]$  a  $n_3 = [r_1 r_2]/[r_1 r_3]$  získáme rovnice<sup>3</sup>

$$n_1 x_1 - x_2 + n_3 x_3 = 0$$

$$n_1 y_1 - x_2 + n_3 y_3 = 0$$

$$n_1 z_1 - x_2 + n_3 z_3 = 0$$

a dosazením heliocentrických souřadnic tělesa pak

$$a_1 n_1 \rho_1 - a_2 \rho_2 + a_3 n_3 \rho_3 = n_1 X_1 - X_2 + n_3 X_3 \quad (3.21)$$

$$b_1 n_1 \rho_1 - b_2 \rho_2 + b_3 n_3 \rho_3 = n_1 Y_1 - Y_2 + n_3 Y_3 \quad (3.22)$$

$$c_1 n_1 \rho_1 - c_2 \rho_2 + c_3 n_3 \rho_3 = n_1 Z_1 - Z_2 + n_3 Z_3. \quad (3.23)$$

---

<sup>3</sup>podrobnější výklad jejich odvození viz [1]

Tato soustava rovnic je numericky řešena tak, že  $n_1\rho_1$  a  $n_3\rho_3$  jsou z rovnic eliminovány a dostaneme řešení s koeficienty  $D$ ,  $d_1$ ,  $d_2$  a  $d_3$ , různými podle zvoleného postupu numerického řešení, v rovnici ve tvaru

$$-D\rho_2 = d_1n_1 - d_2 + d_3n_3 \quad (3.24)$$

### 3.5.2 Aproximace

Nyní je potřeba zjistit poměry ploch mezi průvodci, vyjádřené veličinami  $n_1$  a  $n_3$ . Předpokládejme obecný dvoudimenzionaální případ, pak bude pohyb tělesa vyjádřen vztahy

$$\frac{d^2x}{dt^2} = -k^2 \frac{x}{r^3}, \quad \frac{d^2y}{dt^2} = -k^2 \frac{y}{r^3}.$$

Je vhodné zvolit novou časovou jednotku  $\tau$  tak, aby  $k$  bylo z rovnic eliminováno, tedy  $\tau = kt$ . Pro tři měření ve výpočtu bude

$$\begin{aligned} \tau_1 &= k(t_3 - t_2), \quad \tau_2 = k(t_3 - t_1), \quad \tau_3 = k(t_2 - t_1) \\ k &= 0.01720210 \end{aligned} \quad (3.25)$$

Encke ukázal, že

$$n_1 = \frac{\tau_1}{\tau_2} + \frac{1}{6}\tau_1\tau_3 \frac{1 + \frac{\tau_1}{\tau_2}}{r_2^3}, \quad n_3 = \frac{\tau_3}{\tau_2} + \frac{1}{6}\tau_1\tau_3 \frac{1 + \frac{\tau_3}{\tau_2}}{r_2^3}.$$

Označme si

$$n_1^\circ = \frac{\tau_1}{\tau_3}, \quad n_3^\circ = \frac{\tau_3}{\tau_2} \quad (3.26)$$

$$\nu_1 = \frac{1}{6}\tau_1\tau_3(1 + n_1^\circ), \quad \nu_3 = \frac{1}{6}\tau_1\tau_3(1 + n_3^\circ), \quad (3.27)$$

Kontrola:  $n_1^\circ + n_3^\circ = 1$

Kontrola:  $\nu_1 + \nu_3 = \frac{1}{2}\tau_1\tau_3$

pak získáme rovnici 3.36. K jejímu výpočtu ale potřebujeme ještě průvodci  $r_2$ . Dosazením rovnice 3.26 do 3.24 získáme rovnici<sup>4</sup>

$$-D\rho_2 = d_1n_1^\circ - d_2 + d_3n_3^\circ + \frac{d_1\nu_1 + d_3\nu_3}{r_2^3}$$

---

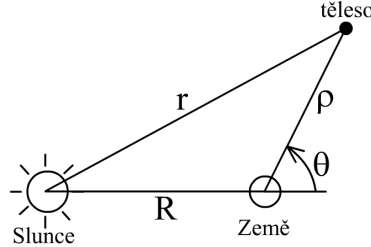
<sup>4</sup>pokud dráha tělesa leží v rovině ekliptiky, nelze získat  $r_2$ , a je nutné uchýlit se k metodě výpočtu dráhy ze čtyř pozorování. Zároveň, čím menší je sklon dráhy tělesa k rovině ekliptiky ( $i$ ), tím nepřesnější hodnotu  $r_2$  je možno touto rovnicí získat.

a po vytknutí  $\rho_2$  rovnici 3.31, kde

$$k_0 = \frac{d_1 n_1^\circ - d_2 + d_3 n_3^\circ}{-D}, \quad l_0 = \frac{d_1 \nu_1 + d_3 \nu_3}{D} \quad (3.28)$$

Kontrola:  $k_0 = l_0 : R_2^3$  (přibližně)

Nyní jsme vyjádřili průvodci  $r_2$  pouze pomocí jedné neznámé,  $\rho_2$ . Z geome-



Obrázek 3.2: Geometrické uspořádání problému

trie problému, viz 3.2 vyplývá vztah 3.32, kde

$$2R_i \cos \theta_i = -2(a_i X_i + b_i Y_i + c_i Z_i) \quad (3.29)$$

$$R_i^2 = X_i^2 + Y_i^2 + Z_i^2. \quad (3.30)$$

Kontrola:  $(X_i - a_i)^2 + (Y_i - b_i)^2 + (Z_i - c_i)^2 = R_i^2 + 2R_i \cos \theta_i + 1$

Zbývá vyřešit následující dvě rovnice

$$\rho_2 = k_0 - \frac{l_0}{r_2^3} \quad (3.31)$$

$$r_2^2 = R_2^2 + 2R_2 \rho_2 \cos \theta_2 + \rho_2^2, \quad (3.32)$$

a to iterační metodou. V prvním přiblížení pro planetky je  $\rho_2 = k_0$ . Tak získáme  $r_2$ , s kterým spočteme přesnější  $\rho_2$ , a tak dále. Konvergenci je možno urychlit. Označme si první hodnotu  $k_0 = \rho_2 = \rho_{2,i}$ , a hodnotu získanou z approximace  $\rho_{2,f1} = \rho_{2,i} + \Delta_1$ . Pak druhá hodnota, získaná approximací, bude  $\rho_{2,f2} = \rho_{2,f1} + \Delta_2$  a třetí hodnota při lineárním přiblížení bude

$$\Delta_1 = \rho_{2,f1} - \rho_{2,i} \quad (3.33)$$

$$\Delta_2 = \rho_{2,f2} - \rho_{2,f1} \quad (3.34)$$

$$\rho_{2,f3} = \rho_{2,i} + \frac{\Delta_1^2}{\Delta_1 - \Delta_2} \quad (3.35)$$

Konečně se tedy můžeme pustit do řešení rovnic

$$n_1 = n_1^\circ + \frac{\nu_1}{r_2^3}, \quad n_3 = n_3^\circ + \frac{\nu_3}{r_2^3}. \quad (3.36)$$

Z rovnic 3.23 získáme  $n_1\rho_1$  a  $n_3\rho_3$ , abychom je mohli použít pro výpočet  $\rho_1$  a  $\rho_3$ :

$$n_3\rho_3 = \frac{1}{a_3}(n_1X_1 - X_2 + n_3X_3 + a_2\rho_2) \quad (3.37)$$

$$n_1\rho_1 = \frac{1}{a_1}(n_1X_1 - X_2 + n_3X_3 + a_2\rho_2 - a_3n_3\rho_3) \quad (3.38)$$

$$\rho_1 = \frac{n_1\rho_1}{n_1}, \quad \rho_3 = \frac{n_3\rho_3}{n_3}. \quad (3.39)$$

Tyto hodnoty, spolu s předchozími výpočty z 3.29 a 3.30 umožňují spočítat zbylé dva průvodiče

$$r_1^2 = R_1^2 + 2R_1\rho_1 \cos \theta_1 + \rho_1^2 \quad (3.40)$$

$$r_3^2 = R_3^2 + 2R_3\rho_3 \cos \theta_3 + \rho_3^2. \quad (3.41)$$

Pak jsou heliocentrické souřadnice tělesa

$$x_i = a_i\rho_i - X_i \quad (3.42)$$

$$y_i = b_i\rho_i - Y_i \quad (3.43)$$

$$z_i = c_i\rho_i - Z_i, \quad \text{kde } i = 1, 2, 3. \quad (3.44)$$

Kontrola:  $x_i^2 + y_i^2 + z_i^2 = r_i^2$ .

### 3.5.3 Zlepšení approximace

Nyní již známe vzdálenost tělesa v každém ze tří okamžiků pozorování, takže můžeme opravit pozorování o planetární aberaci.

$$t_i^\circ = t_i - A\rho_i; \quad A = 0.005772 \text{ dne} \quad (3.45)$$

S opravenými časy přepočteme  $\tau_i$ ,  $n_1$  a  $n_3$ :

$$\tau_1 = t_3^\circ - t_2^\circ; \quad \tau_2 = t_3^\circ - t_1^\circ; \quad \tau_3 = t_2^\circ - t_1^\circ \quad (3.46)$$

$$n_1 = \frac{\tau_1}{\tau_2}; \quad n_3 = \frac{\tau_3}{\tau_2} \quad (3.47)$$

Dále nás bude zajímat poměr plochy opsané průvodičem k ploše vytyčené trojúhelníkem s vrcholy ve dvou heliocentrických souřadnicích tělesa a ohnisku opisované elipsy. Těleso se nachází v bodě  $x, y, z$  v čase  $t$  a v bodě  $x', y', z'$  v čase  $t'$ . Tedy za čas  $t' - t$  se posune o úhel mezi průvodiči  $v' - v = 2f$ . Pak z geometrie problému vidíme, že platí  $rr' \cos 2f = xx' + yy' + zz'$ . Označme si  $\kappa = 2\sqrt{rr'} \cos f$ , takže

$$\kappa_1^2 = 2(r_2 r_3 + x_2 x_3 + y_2 y_3 + z_2 z_3), \quad (3.48)$$

$$\kappa_2^2 = 2(r_1 r_3 + x_1 x_3 + y_1 y_3 + z_1 z_3), \quad (3.49)$$

$$\kappa_3^2 = 2(r_1 r_2 + x_1 x_2 + y_1 y_2 + z_1 z_2). \quad (3.50)$$

Označme si dvojnásobky plochy opsané mezi každými dvěma průvodiči  $(r_1 r_2)$ ,  $(r_2 r_3)$  a  $(r_1 r_3)$ . Poměr těchto ploch k plochám trojúhelníků, které průvodiče vytyčují, nechť jsou

$$\bar{y}_1 = \frac{(r_2 r_3)}{[r_2 r_3]}, \quad \bar{y}_2 = \frac{(r_1 r_3)}{[r_1 r_3]}, \quad \bar{y}_3 = \frac{(r_1 r_2)}{[r_1 r_2]}.$$

Od prvního řešení podaného Gaussem vyvinulo množství dalších autorů metody, jak poměry těchto ploch spočítat, mezi nejznámější bude jistě patřit Encke. V této práci se řešením úlohy poměrů uvedených ploch pro stručnost zabývat nebudeme, a uvedeme jen vzorce nutné k výpočtu. Hansen také ukázal, jak je možno  $\bar{y}_i$  získat:

$$\bar{y}_i = 1 + \frac{10}{11} \frac{\frac{11}{9} h_i}{1 + \frac{\frac{11}{9} h_i}{1 + \frac{\frac{11}{9} h_i}{...}}} \quad (3.51)$$

$$\text{kde } h_1 = \frac{\tau_1^2}{\kappa_1^2 (\frac{\kappa_1}{3} + \frac{r_2+r_3}{2})} \quad (3.52)$$

$$h_2 = \frac{\tau_2^2}{\kappa_2^2 (\frac{\kappa_2}{3} + \frac{r_1+r_3}{2})} \quad (3.53)$$

$$h_3 = \frac{\tau_3^2}{\kappa_3^2 (\frac{\kappa_3}{3} + \frac{r_1+r_2}{2})} \quad (3.54)$$

Pokud těleso prochází více jak 30% oblouku své dráhy, je vhodnější použít přesnější Gaussův postup:

$$m_i = \frac{\tau_i^2}{\kappa_i^3} \quad (3.55)$$

$$l_1 = \frac{1}{2} \left( \frac{r_2 + r_3}{\kappa_1} - 1 \right) \quad (3.56)$$

$$l_2 = \frac{1}{2} \left( \frac{r_1 + r_3}{\kappa_2} - 1 \right) \quad (3.57)$$

$$l_3 = \frac{1}{2} \left( \frac{r_1 + r_2}{\kappa_3} - 1 \right) \quad (3.58)$$

$$x_i = \frac{m_i}{\bar{y}_i^2} - l_i \quad (3.59)$$

$$h_i = \frac{m_i}{\frac{5}{6} + l_i + \xi_i}, \quad (3.60)$$

kde  $\xi_i$  nalezneme v [1] v tabulce VIII a na CD v příloze této práce. Následně spočteme novou hodnotu  $\bar{y}_i$  podle vzorce 3.51.

První Keplerův zákon říká, že poměry ploch opsaných průvodičem jsou úměrné době, po kterou tuto plochu opisovaly, tedy

$$n_1 = \frac{\tau_1 \bar{y}_2}{\tau_2 \bar{y}_1}, \quad n_3 = \frac{\tau_3 \bar{y}_2}{\tau_2 \bar{y}_3}.$$

Využijeme-li značení, zavedeného v 3.36, pak

$$n_1 = n_1^\circ \frac{\bar{y}_2}{\bar{y}_1}, \quad n_3 = n_3^\circ \frac{\bar{y}_2}{\bar{y}_3}. \quad (3.61)$$

Jestliže tyto nové hodnoty  $n_1$  a  $n_3$  jsou dostatečně stejné s hodnotami, získanými vzorcí 3.36, je možné pokračovat přímo výpočtem dráhových elementů. Jinak přepočteme

$$\nu_1 = n_1^\circ \left( \frac{\bar{y}_2}{\bar{y}_1} - 1 \right) r_2^3, \quad \nu_3 = n_3^\circ \left( \frac{\bar{y}_2}{\bar{y}_3} - 1 \right) r_2^3, \quad (3.62)$$

a výpočty 3.28 až 3.61 jsou zopakovány.

Kontrola po dokončení approximací: Hodnoty  $x_2$ ,  $y_2$  a  $z_2$ , získané z rovnic 3.42, 3.51 a 3.44 musí souhlasit s hodnotami

$$\begin{aligned} x_2 &= n_1 x_1 + n_3 x_3 \\ y_2 &= n_1 y_1 + n_3 y_3 \\ z_2 &= n_1 z_1 + n_3 z_3. \end{aligned}$$

Navíc, dosazením spočtených údajů do úvodních rovnic

$$\begin{aligned} \rho_i \cos \delta_i \cos \alpha_i &= x_i + X_i \\ \rho_i \cos \delta_i \sin \alpha_i &= y_i + Y_i \\ \rho_i \sin \delta_i &= z_i + Z_i \\ \text{pro } i &= 1, 2, 3 \end{aligned}$$

je možno získat spočtené pozice tělesa  $(\alpha_i, \delta_i)$ , které můžeme porovnat se skutečně pozorovanými pozicemi.

### 3.5.4 Určení elementů dráhy

Z geometrie je jasné zřejmé, že druhá mocnina dvojnásobku plochy trojúhelníku vytvořeného průvodiči  $r_1$  a  $r_3$  je rovna součtu druhých mocnin ploch průmětů této plochy do souřadnicových rovin, tedy

$$[r_1 r_3 \sin(\nu_3 - \nu_1)]^2 = (y_1 z_3 - z_1 y_3)^2 + (z_1 x_3 - x_1 z_3)^2 + (x_1 y_3 - y_1 x_3)^2,$$

nebo také

$$r_1 r_3 \cos(\nu_3 - \nu_1) = x_1 x_3 + y_1 y_3 + z_1 z_3.$$

Označme si

$$\sigma = \frac{x_1 x_3 + y_1 y_3 + z_1 z_3}{r_1^2}, \quad (3.63)$$

$$x_0 = x_3 - \sigma x_1, \quad (3.64)$$

$$y_0 = y_3 - \sigma y_1, \quad (3.65)$$

$$z_0 = z_3 - \sigma z_1, \quad (3.66)$$

$$r_0^2 = x_0^2 + y_0^2 + z_0^2, \quad (3.67)$$

pak výše uvedené rovnice přecházejí na tvar

$$\sin(\nu_3 - \nu_1) = \frac{r_0}{r_3}, \quad (3.68)$$

$$\cos(\nu_3 - \nu_1) = \frac{\sigma r_1}{r_3} = \frac{x_1 x_3 + y_1 y_3 + z_1 z_3}{r_1 r_3}, \quad (3.69)$$

který umožňuje spočítat úhel pro rozdíl pravých anomálií  $(\nu_3 - \nu_1)$ , a to tak, že sinus i kosinus musí oba náležet hledanému úhlu. Zvláště je třeba dát pozor na určení správného kvadrantu.

Z definice

$$\bar{y} = \frac{(rr')}{[rr']} = \frac{\tau \sqrt{p}}{rr' \sin 2f}$$

zapíšeme indexy pro  $\bar{y}_2$  a vytkneme:

$$\sqrt{p} = \frac{r_1 r_0}{\tau_2} \bar{y}_2 \quad (3.70)$$

Rovnice pro popis kuželosečky s ohniskem v počátku souřadnic je

$$r = \frac{p}{1 + e \cos \nu}.$$

Zapíšeme tyto rovnice pro průvodiče  $r_1$  a  $r_2$ , substituujeme  $\cos \nu = q$  a vytkneme  $q_1$  a  $q_2$ :

$$q_1 = \frac{p}{r_1} - 1, \quad q_3 = \frac{p}{r_3} - 1. \quad (3.71)$$

Tyto rovnice můžeme přepsat do tvaru, který spolu se substitucí pro  $q_1$  umožňuje získat úhel pro pravou anomálii  $\nu_1$ , a to ze znalosti  $e \sin \nu_1$  a  $e \cos \nu_1$ .

$$e \cos \nu_1 = q_1, \quad (3.72)$$

$$e \sin \nu_1 = \frac{q_1 \cos(\nu_3 - \nu_1) - q_3}{\sin(\nu_3 - \nu_1)}. \quad (3.73)$$

Jelikož je zřejmé, že  $\nu_3 = \nu_3 + \nu_1 - \nu_1$ , můžeme hned spočítat také pravou anomálii  $\nu_3$ , a ze známých  $\nu_1$  a  $e \sin \nu_1$  excentricitu dráhy  $e$ . Excentricita dráhy a úhel eccentricity  $\varphi$  jsou navzájem ekvivalentní parametry dráhy, takže můžeme snadno spočítat i druhý z nich.

$$\nu_3 = \nu_1 + (\nu_3 - \nu_1) \quad (3.74)$$

$$e = \frac{e \sin \nu_1}{\sin(\nu_1)} \quad (3.75)$$

$$\varphi = \arcsin e \quad (3.76)$$

Parametr  $p = b^2/a$ . Z geometrie elipsy víme, že numerická výstřednost  $e = \sqrt{a^2 - b^2}/a$ , takže po vyjádření velké poloosy  $a$  a dosazení za malou poloosu  $b^2$  dostaneme velkou poloosu  $a$ :

$$a = \frac{p}{1 - e^2} \quad (3.77)$$

Tímto jsme získali tvar dráhy tělesa, hodnoty velké poloosy  $a$  a výstřednosti  $e$ . Z rozboru problému dvou těles, dostupném běžně v literatuře, např. [1], využijeme rovnice

$$\tan\left(\frac{1}{2}E_1\right) = \sqrt{\frac{1-e}{1+e}} \tan\left(\frac{1}{2}\nu_1\right), \quad (3.78)$$

$$\tan\left(\frac{1}{2}E_3\right) = \sqrt{\frac{1-e}{1+e}} \tan\left(\frac{1}{2}\nu_3\right). \quad (3.79)$$

Tak dostaneme hodnoty excentrických anomálií  $E_1$  a  $E_3$ .

$$\text{Kontrola: } a \cos \varphi \sin\left(\frac{1}{2}(E_3 - E_1)\right) = \sqrt{r_1 r_3} \sin\left(\frac{1}{2}(\nu_3 - \nu_1)\right).$$

Z Keplerovy rovnice  $E = M + e \sin E$  spočteme střední anomálie  $M$ . Střední denní pohyb  $\mu$  získáme z rozdílů středních anomálií za rozdíl času (ve dnech) pozorování, tedy z toho, jaký úhel těleso urazilo mezi dvěma časy. Zároveň střední denní pohyb  $\mu$  souvisí díky třetímu Keplerovu zákonu s velkou poloosou.

$$M_1 = E_1 - e \sin E_1, \quad M_3 = E_3 - e \sin E_3, \quad (3.80)$$

$$\mu = \frac{M_3 - M_1}{t_3 - t_1} = \frac{k}{a^{3/2}}, \quad (3.81)$$

$$\text{kde } k = 3548.188''. \quad (3.82)$$

Kontrola: Obě získané hodnoty  $\mu$  musí být shodné.

Epocha pomáhá určit polohu tělesa na dráze, a to tak, že ve zvolenou epochu má těleso v parametrech dráhy uvedenou střední anomálii  $M_0$ . Těleso se pohybuje po dráze středním denním pohybem  $\mu$ , a proto nyní musíme pro vybranou epochu  $t_0$ , pro kterou budou elementy dráhy, přepočítat střední anomálii

$$M_0 = M_1 + \mu(t_0 - t_1^\circ) = M_3 + \mu(t_0 - t_3^\circ). \quad (3.83)$$

Kontrola: Obě získané hodnoty  $M_0$  musí být shodné.

Spočtěme nyní směrové kosiny dráhy  $P$  a  $Q$ . Jde o dva vektory v prostoru, celkem tedy šest údajů. Šest parametrů je plně postačujících k určení jednoznačné dráhy tělesa, takže tyto vektory jsou ekvivalentní alternativou "klasických" elementů dráhy.

$$P_x = x_1 \frac{\cos \nu_1}{r_1} - x_0 \frac{\sin \nu_1}{r_0}, \quad Q_x = x_1 \frac{\sin \nu_1}{r_1} - x_0 \frac{\cos \nu_1}{r_0}, \quad (3.84)$$

$$P_y = y_1 \frac{\cos \nu_1}{r_1} - y_0 \frac{\sin \nu_1}{r_0}, \quad Q_y = y_1 \frac{\sin \nu_1}{r_1} - y_0 \frac{\cos \nu_1}{r_0}, \quad (3.85)$$

$$P_z = z_1 \frac{\cos \nu_1}{r_1} - z_0 \frac{\sin \nu_1}{r_0}, \quad Q_z = z_1 \frac{\sin \nu_1}{r_1} - z_0 \frac{\cos \nu_1}{r_0}, \quad (3.86)$$

Abychom si byli jisti dostatečnou přesností spočtených vektorů, vypočtěme následující vzorce, a aplikujme níže vypsané kontrolní vzorce.

$$A_x = a P_x, \quad B_x = a \cos \varphi Q_x \quad (3.87)$$

$$A_y = aP_y, \quad B_y = a \cos \varphi Q_y \quad (3.88)$$

$$A_z = aP_z, \quad B_z = a \cos \varphi Q_z \quad (3.89)$$

Kontrola:

$$A_x^2 + A_y^2 + A_z^2 = a^2$$

$$B_x^2 + B_y^2 + B_z^2 = a^2 \cos^2 \varphi$$

$$A_x B_x + A_y B_y + A_z B_z = 0.$$

Přikročíme k určení orientace roviny dráhy tělesa v prostoru. Označme sklon zemské osy  $\epsilon = 23^\circ 26' 46.7'' = 0.409215..$  rad.

$$\sin i \sin \omega = P_z \cos \epsilon - P_y \sin \epsilon \quad (3.90)$$

$$\sin i \cos \omega = Q_z \cos \epsilon - Q_y \sin \epsilon \quad (3.91)$$

Argument délky perihelia  $\omega$  získáme ze znalosti  $\sin i \sin \omega$  a  $\sin i \cos \omega$ . Pak jej dosadíme zpátky do obou rovnic a dostaneme sklon dráhy  $i$ . Z následujících dvou rovnic obdobně získáme výstupný uzel dráhy  $\Omega$ :

$$\sin \Omega = (P_y \cos \omega - Q_y \sin \omega) \sec \epsilon, \quad (3.92)$$

$$\cos \Omega = P_x \cos \omega - Q_x \sin \omega. \quad (3.93)$$

Tím jsme se dobrali šesti potřebných parametrů dráhy, určených pro epochu  $t_0$ :

střední anomálie	$M$	ze vzorce 3.83
velké poloosy	$a$	ze vzorce 3.77
excentricity	$e$	ze vzorce 3.75
délky výstupného uzlu	$\Omega$	ze vzorců 3.92, 3.93
sklonu	$i$	ze vzorců 3.90, 3.91
argumentu šířky perihélia	$\omega$	ze vzorců 3.90, 3.91

a navíc jsme také získali

střední denní pohyb  $n$  ze vzorce 3.82

matematicky ekvivalentní  
s velkou poloosou  $a$

dobu oběhu v rocích  $P$  z 3. Keplerova zákona  $P^2/a^3 = 1$

úhel excentricity  $\varphi$  ze vzorce 3.76

použitelný místo excentricity  $e$

dobu průchodu periheliem  $T$  ze vzorce  $M = n(t_0 - T)$   
ekvivalentní se střední anomálií  $M$ .

Výsledek výpočtu je vhodné zapsat v tvaru běžně používaném Minor Planet Center. Tabulka, následující za ukázkou tohoto tvaru zápisu parametrů dráhy osvětluje použité značení.

(3337) Milos

Epoch 2008 May 14.0 TT = JDT 2454600.5	MPC
M 227.29091 (2000.0)	P Q
n 0.20545282	Peri. 217.95569 +0.79696436 -0.60402614
a 2.8444260	Node 179.20263 +0.56230121 +0.74162015
e 0.0789952	Incl. 1.98205 +0.22060180 +0.29180811
P 4.80	H 12.5 G 0.15 U 0

(3337) Milos Číslo, příp. jméno planetky

<i>Epoch</i>	Epocha $t_0$ , pro kterou jsou uvedeny níže zapsané parametry dráhy, následuje také zápis epochy v juliánském datu $JDT$
(2000.0)	Ekvinokcium, pro které platí souřadný systém (ten se totiž posouvá spolu s jarním bodem)
$M, n, a, e$	spočtené parametry dráhy
<i>Peri.</i>	Argument šířky perihélia $\omega$
<i>Node</i>	Délka výstupného uzlu $\Omega$
<i>Incl.</i>	Sklon dráhy $i$
<i>P</i> a <i>Q</i>	Třetí a čtvrtý sloupec uvádějí směrové kosiny dráhy, vektory spočtené v průběhu výpočtu dráhy v rovnicích 3.84, 3.85, 3.86
<i>P</i>	Doba oběhu v rocích
<i>H</i>	Absolutní jasnost tělesa spočtená z fotometrického měření
<i>G</i>	Odrazivost tělesa, která je u nových planetek předpokládána $G = 0.15$ (odpovídá odrazivosti běžné skály)
<i>U</i>	Parametr určující nepřesnost efemeridy tělesa po deseti letech

U	Δ ["/10 let]	U	Δ ["/10 let]
0	< 1.0	5	< 1692
1	< 4.4	6	< 7488
2	< 19.6	7	< 33121
3	< 86.5	8	< 146502
4	< 382	9	> 146502

# Kapitola 4

## Vlastní realizace

### 4.1 Výpočtový program

Pro účely této práce byl vytvořen program pro výpočty drah planetek. Program je schopen počítat dráhy a předpovědi polohy tělesa metodou Väisälä popsáné v práci [3], a to ze dvou pozorování a zadané vzdálenosti tělesa. Dále je schopen počítat dráhy Gaussovou metodou ze tří pozorování, tak, jak je tato metoda popsána v kapitole 3.5 této práce. Program má v sobě uloženy parametry dráhy barycentra Země-Měsíc, které při výpočtu používá. Také je schopen spočítat efemeridu - tedy pro zadané parametry dráhy a čas určit pozici tělesa na pozemské obloze.

### 4.2 Dostupná vstupní data

Během vypracovávání této práce byla samostatně autorkou této práce prováděna pozorování pomocí 0.57m zrcadlového dalekohledu na Observatoři Kleť. Teleskop je vybaven CCD kamerou SBIG ST-8. Tělesa byla vybírána pomocí webového rozhraní balíku programů Kleť Software Package, následně byla zpracována jejich efemerida a určena vhodná doba expozice. Snímky byly ihned po pořízení zpracovávány pomocí softwaru *Astrometry* vyvinutého na Observatoři Kleť [6]. K získání pozic srovnávacích hvězd byl užit USNO-B1.0 katalog. Získané výsledky byly promptně odesílány do Minor Planet Center.

Od srpna 2007 do května 2008 bylo během 17 nocí získáno celkem 785 pozic 91 malých těles sluneční soustavy, z toho 630 pozic 69 planetek a 155 pozic 22 komet. Seznam pozic těles provedených pozorování je možno nalézt v dodatku A této práce.

#### Typy druh a počty pozorovaných planetek

Křížičí dráhy Marsu	3
NEA typ Amor	18
NEA typ Apollo	34
NEA typ Aten	6
Kentauři	1
Křížičí drah vnějších planet	2

Zároveň z 58 pozorovaných NEAs<sup>1</sup> jich 18 patří do skupiny planetek PHAs<sup>2</sup> a 5 těles patřilo v době pozorování zároveň mezi Virtuální Impaktory (V.I.), což jsou tělesa s nenulovou pravděpodobností srážky se Zemí v příštích sto letech<sup>3</sup>. K pozorování byla vybírána výhradně tělesa, u nichž bylo možno získanými daty přispět ke zpřesnění jejich druh. Kromě toho u planetky s označením 2005 WJ56 umožnila přesná poloha získaná pozorováním zaměřit planetku radarem a provést radarové pozorování.

---

<sup>1</sup>Near Earth Asteroids, skupina blízkozemních planetek typu Amor, Aten a Apollo, podle typu dráhy

<sup>2</sup>Potentially Hazardous Asteroids, objekty, které se mohou přiblížit k Zemi na <0,05 AU, a mají průměr nejméně 150 m.

<sup>3</sup>Šlo o tělesa s katalogovým označením 2007 PA8, 2008 AF4, 2008 BD15, 2008 CK70 a 2008 HR3

## 4.3 Výpočet dráhy vybraných těles

### 4.3.1 Vzorové těleso

Program byl nejprve otestován na datech použitých v [1]:

Planet 1933 NA

G. N. Neumin at Simeis (Crimea)

I	No.	day	h	m	UT			a(1933.0)			d(1933.0)		
					h	m	s	deg	min	sec	deg	min	sec
1	1933 July	1	23	3.0	1.96042	19	28	2.28	-13	52	7.3		
2		29	21	23.3	29.89118	19	3	43.85	-14	7	8.5		
3	Aug.	27	20	12.6	58.84204	18	59	13.08	-15	14	38.2		

Planet 1933 NA

Elementy - Dubyago

Ekvinokcium 1933.0

Epocha 1933 July 27.0 U.T.

Planet 1933 NA

Elementy - Vlastní výpočet

Ekvinokcium 1933.0

Epocha 1933 July 27.0 U.T.

. $M_0$	13° 09' 10.8"	. $M_0$	13° 05' 07.8"
$\omega$	50° 41' 45.4"	$\omega$	50° 46' 54.6"
$\Omega$	226° 32' 40.7"	$\Omega$	226° 29' 49.7"
$i$	4° 20' 55.3"	$i$	4° 20' 49.4"
$\varphi$	8° 59' 25.4"	$\varphi$	8° 59' 23.8"
$\mu$	1065.252"	$\mu$	1065.132"

Přesnost výpočtu se ukázala dostatečná, program provádí výpočet podle Gaussovy metody tak, jak je očekáváno. Rozdíl oproti výsledkům Dubyaga je zapříčiněn čistě zaokrouhlovacími chybami.

### 4.3.2 Planetka 2008 CN1

Planetka ze skupiny Aten, která patří nejen mezi NEO, ale také k PHA planetkám. Těleso má 245 metrů v průměru a bylo objeveno 2. února 2008. Na Kleti byla planetka pozorována M. Honkovou v průběhu pěti nocí mezi 9. únorem 2008 a 17. únorem 2008, bylo získáno celkem 21 pozic tělesa.

Vstupní pozorování.

K08C01N	C2008 02 09.97341	13 29 12.18	+12 35 45.6	18.6 R	046
K08C01N	C2008 02 12.97985	12 42 56.87	+13 57 56.6	046	
K08C01N	C2008 02 17.03728	11 19 40.88	+14 59 49.4	046	

Väisälöva metoda.

První dvě pozorování byla použita jako vstup a vzdálenost k tělesu  $\rho_2$  byla nastavena tak, aby předpověď pro čas třetího pozorování dobře souhlasila s napozorovanou polohou v době třetího pozorování. Výpočet bylo možno provést pouze s  $\rho_2 < 0.358$  AU, přičemž s rostoucí vzdáleností se vypočtená pozice blížila pozorované. Bylo tedy zvoleno  $\rho_2 = 0.357$  AU. Podle chování výpočtu bylo možné odhadnout, že těleso se nachází poblíž Země. Spočtené parametry dráhy dávají smysl pouze pro kometu z vnější části slunečního systému, těleso totiž bylo pozorováno poblíž Země a proto s použitými nepřesnými parametry dráhy barycentra Země-Měsíc není možné získat kvadraticnější dráhové elementy.

K08C01N	C2008 02 17.03730	11 06 27.87	+15 00 30.7	Předpověď
K08C01N	C2008 02 17.03728	11 19 40.88	+14 59 49.4	Pozorování

2008 CN1  
 Elementy - Väisälä  
 Ekvinočium 2000  
 Epoch 2008 Feb 13.0 U.T.

$M_0$	0.001
$a$	262.3732
$e$	0.9952
$i$	44.7041
$\omega$	353.27
$\Omega$	328.71
$\mu$	0.00023

## Gaussova metoda výpočtu dráhy.

Jako vstup do programu sloužily tři výše uvedená pozorování. Přibližné parametry dráhy barycentra Země-Měsíc byly převzaty z [8]. Výpočet proběhl, ale určil excentricitu  $e > 1$ , což bylo očekáváno - těleso se nacházelo poblíž Země a proto nepřesná pozice pozorovatele, určená pouze hrubou polohou barycentra Země-Měsíc, pro výpočet naprosto nedostačovala.

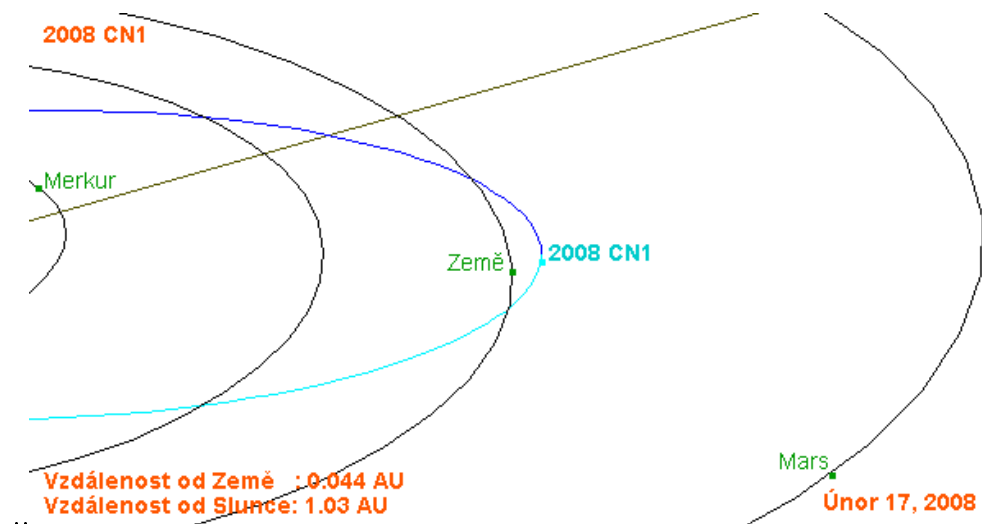
Proto byl výpočet proveden znova, a poloha Země pro časy pozorování byla určena pomocí softwaru Observatoře Kleť matematickým rozvojem. Parametry dráhy byly porovnány s drahou spočtenou JPL [8]. Jak je vidět z následující tabulky, nejvíce se liší hodnoty u střední anomálie  $M_0$ . Jde o rozdíl pouze zdánlivý, jelikož obě sady elementů drah jsou platné pro jinou epochu - a střední anomálie určuje pozici tělesa na dráze v čase epochy.

2008 CN1	2008 CN1
Elementy - Gaussova metoda	Elementy - JPL
Ekvinokcium 2000.0	Ekvinokcium 2000.0
Epocha 2008 Feb 04.0 U.T.	Epocha 2008 May 14.0 U.T.

$M_0$	140.86300	$M_0$	286.687
$a$	0.7707210	$a$	0.77052
$e$	0.3476948	$e$	0.34815
$i$	7.19896	$i$	7.216
$\omega$	7.12054	$\omega$	7.0696
$\Omega$	331.65079	$\Omega$	331.63365
$\mu$	1.45666018	$\mu$	1.45722



Obrázek 4.1: Jeden ze snímků planetky 2008 CN1. Snímek byl pořízen 10s expozicí 0.57m zrcadlovým teleskopem na Kleti 17. února 2008.



Obrázek 4.2: Planetka 2008 CN1 v době pořízení snímku zobrazeného výše.

### 4.3.3 Planetka 2008 CK70

Planetka, patřící do skupiny Apollo, která byla v době pozorování M. Honkovou na Kleti také V.I., tedy měla nenulovou pravděpodobnost srážky se Zemí. Má pouze 30 metrů v průměru a objevena byla 9. února 2008. Těleso bylo sledováno M. Honkovou po tři noci, od 11. února 2008 do 14. února 2008. Provedené pozorování pomohlo upřesnit dráhu tělesa a snížit tak pravděpodobnost jeho srážky se Zemí a patří mezi celosvětově poslední pozorování tohoto tělesa.

Vstupní pozorování.

K08C70K	C2008 02 12.00641	10 26 59.79	-02 38 56.6	18.6 R	046
K08C70K	C2008 02 12.96653	10 36 02.91	-03 45 07.0		046
K08C70K	C2008 02 13.99094	11 03 32.13	-07 03 15.2		046

Väisälöva metoda.

První dvě pozorování byla použita jako vstup a vzdálenost k tělesu  $\rho_2$  byla znova nastavována tak, aby předpověď pro čas třetího pozorování dobře souhlasila s pozorovanou polohou.

Výpočet bylo možno provést pouze s  $\rho_2 < 0.126$  AU, přičemž nejlépe vyhovovala vzdálenost  $\rho_2 = 0.0004$  AU. V každém případě šlo o těsný průlet tělesa v blízkozemi Země. Väisälöva metoda byla použita k získání odhadu parametrů dráhy tělesa. Podle spočtené dráhy je možno usoudit, že může jít o těleso na dráze podobné, jako je dráha Země.

K08C70K	C2008 02 13.99090	11 03 47.62	-07 04 16.3	Předpověď
K08C70K	C2008 02 13.99094	11 03 32.13	-07 03 15.2	Pozorování

2008 CK70  
 Elementy - Väisälä  
 Ekvinočium 2000  
 Epoch 2008 Feb 14.0 U.T.

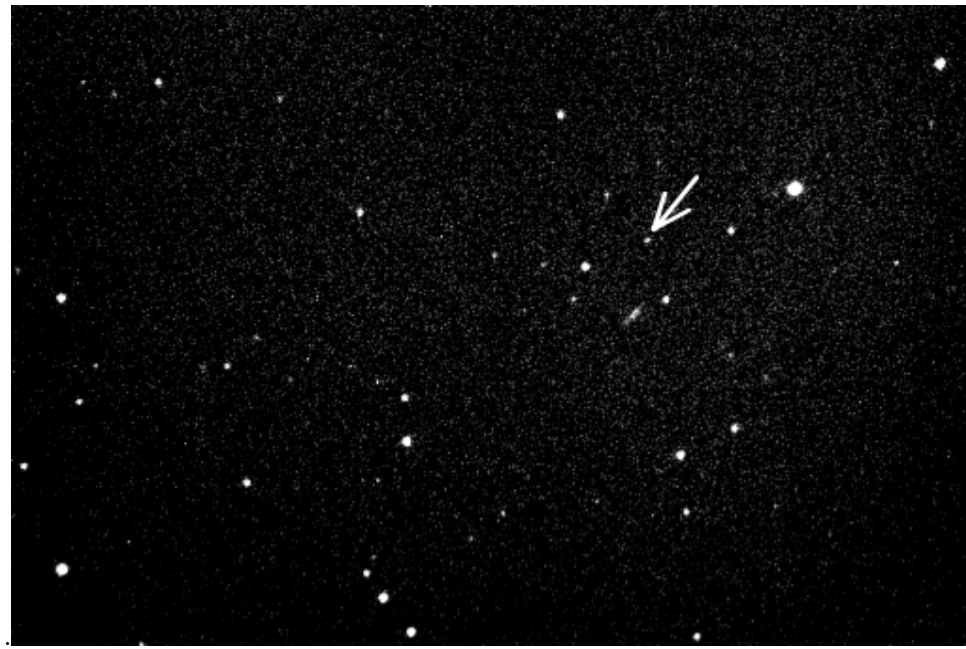
$M_0$	361.0
$a$	0.9962
$e$	0.0086
$i$	0.1242
$\omega$	297.8
$\Omega$	325.5
$\mu$	0.9913

Gaussova metoda výpočtu dráhy.

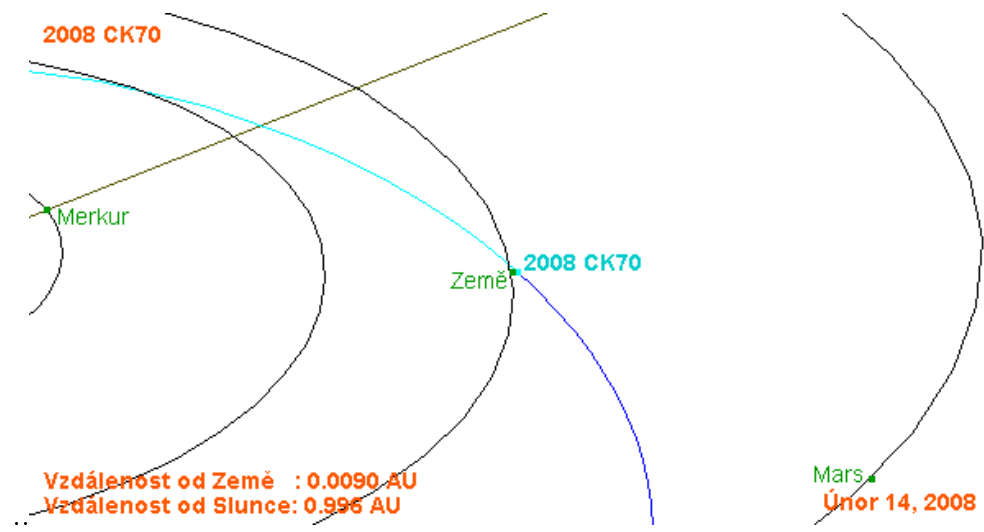
Vstupem do programu byly tři výše uvedená pozorování. Přibližné parametry dráhy barycentra Země-Měsíc byly převzaty z [8]. Stejně jako v předcházejícím případě výpočet určil excentritu  $e > 1$ , a proto byl zopakován s přesnější polohou Země získanou matematickým rozvojem. Parametry dráhy byly porovnány s drahou spočtenou JPL [8]. Střední anomálie  $M_0$  se liší znova kvůli jiné epoše, jinak výsledky dobře souhlasí. JPL má navíc zabudován výpočet chyby dráhy, takže jsem uvedla jen platná místa. Oproti předcházejícímu tělesu je jich méně, protože těleso bylo sledováno pouze pět dní, což znemožňuje získat přesnější dráhu.

2008 CK70	2008 CK70
Elementy - Gaussova metoda	Elementy - JPL
Ekvinočium 2000.0	Ekvinočium 2000.0
Epoch 2008 Feb 04.0 U.T.	Epoch 2008 May 14.0 U.T.

$M_0$	301.00397	$M_0$	24.85
$a$	1.1148954	$a$	1.1028
$e$	0.4699740	$e$	0.4689
$i$	6.01352	$i$	6.06
$\omega$	104.68577	$\omega$	105.792
$\Omega$	145.83402	$\Omega$	145.8255
$\mu$	0.83724563	$\mu$	0.851



Obrázek 4.3: Jeden ze snímků planetky 2008 CK70. Snímek byl pořízen 10s expozicí 0.57m zrcadlovým teleskopem na Kleti 13. února 2008.



Obrázek 4.4: Planetka 2008 CK70 v době pořízení snímku zobrazeného výše.

# Kapitola 5

## Shrnutí

V rámci vypracovávání této práce byla autorkou samostatně prováděna pozorování s 0.57m dalekohledem na Observatoři Klet, včetně výběru těles, určení efemerid a expozičního času a zpracování snímků. Výsledky byly odesílány do Minor Planet Center. Začátkem května 2008 proto patřil tento dalekohled mezi nejproduktivnější na světě v počtu pozic publikovaných v roce 2008 v Minor Planets Daily Orbit Circulars [11]. Celkem bylo získáno 785 pozic 91 malých těles sluneční soustavy. Seznam pozic těles se nalézá v dodatku A této práce. Mezi pozorovanými tělesy jich 58 patřilo mezi NEA, 18 mezi PHA a 5 jich mělo v době pozorování nenulovou pravděpodobnost srážky se Zemí - provedená pozorování pomohla zpřesnit dráhu a zmenšit známé riziko srážky. Přesná astrometrie jedné z pozorovaných planetek také umožnila zaměřit planetku radarem a provést radarové pozorování.

Pro účely této práce byl autorkou vytvořen program, umožňující počítat dráhy planetek metodou Väisälä a Gaussovou metodou, a základní výpis efemerid tak, jak tyto metody uvádí kapitola 3 této práce. Výpočet zahrnuje korekci o planetární aberaci. Vzhledem k nízké přesnosti použitých parameterů dráhy Země (barycentra Země-Měsíc) nezahrnuje paralaktickou korekci. Jelikož pozorování byla prováděna po krátkou dobu, nebylo nutné započítat také korekci o precesi a nutaci.

Program byl otestován na několika planetkách a výsledky byly porovnány s drahami určenými JPL [7]. Byl potvrzen závěr uvedený již v [3] o nevhodnosti metody Väisälä na určení definitivní dráhy. Přesto má tato metoda využití, a to na výpočet efemerid na nejbližší dny a týdny, následující po objevu

nového tělesa. Tímto väisälovská metoda umožňuje získat další pozorování pro určení přesnější dráhy planetky Gaussovou metodou. Bylo také zjištěno, že výpočet dráhy Gaussovou metodou je nesmírně citlivý k přesnosti parametrů dráhy Země, vstupujících do výpočtu. Proto musel být na získání dostatečně přesné dráhy Země místo původních parametrů dráhy barycentra Země-Měsíc použit matematický rozvoj - pak byly výsledky přesnosti srovnatelné s JPL [7].

Další etapou bylo aplikování katalogu Dynamic Ephemeris 405 (DE405) nebo DE406 a Lunar Ephemeris 405 (LE405) nebo LE406 pro získání přesnějších parametrů dráhy Země. Pak bylo dosaženo dostatečné přesnosti, aby mělo smysl aplikovat topocentrickou korekci, a zvýšila by se tak přesnost celého výpočtu. Kromě toho by umožnily počítat dráhu podstatně spolehlivěji především pro blízkozemní tělesa. Následně by bylo možné vytvořit program pro počítání poruchových drah, tedy v podstatě řešení problému  $n$  těles numerickou metodou. Vzhledem k rozsahu této práce nebylo však možno se problémem poruchových drah zaobírat.

# Literatura

- [1] A. D. Dubyago: *The Determination of Orbits*, The Macmillan Company, New York, 1961.
- [2] B.A. Gould: *On the Symbolic Notation of the Asteroids* 1852, Astron. J., 2, 80.
- [3] M. Honková: *Následná astrometrie blízkozemních planetek a její vliv na přesnost určení dráhových elementů a efemerid*, Brno, 2006.
- [4] Z. Mikulášek: *Obecná astronomie - skripta k předmětu*, MU Brno.
- [5] <http://cfa-www.harvard.edu/iau/mpc.html>
- [6] J. Tichá, M. Tichý, M. Kočer: *KLENOT - KLET OBSERVATORY NEAR EARTH AND OTHER UNUSUAL OBJECTS OBSERVATIONS TEAM AND TELESCOPE*, ESA Proceedings, ESA-SP-500, 2002.
- [7] <http://neo.jpl.nasa.gov/orbits/>
- [8] <http://ssd.jpl.nasa.gov/>
- [9] <http://www.planetky.cz/>
- [10] J.L. Hilton *When did the asteroids become minor planets?*, <http://aa.usno.navy.mil/faq/docs/minorplanets.php>
- [11] <http://cfa-www.harvard.edu/iau/mpc.html>

# Dodatek A

## Soupis provedených pozorování

Pozorování planetek a komet provedená M. Honkovou na Kleti v době vypracovávání práce

K08H03R	C2008 05 08.86978	12 53 45.41	-09 11 50.1	046
K08H03R	C2008 05 08.87060	12 53 44.37	-09 11 39.3	046
K08H03R	C2008 05 08.87119	12 53 43.99	-09 11 36.3	046
K08H03R	C2008 05 08.87169	12 53 43.31	-09 11 24.4	046
K08H03R	C2008 05 08.87228	12 53 42.50	-09 11 15.5	046
K08H03R	C2008 05 08.87295	12 53 41.76	-09 11 05.9	046
K08H03R	C2008 05 08.87391	12 53 40.77	-09 10 53.8	046
K08H03S	C2008 05 08.88068	11 38 18.30	-03 05 25.4	046
K08H03S	C2008 05 08.88164	11 38 18.79	-03 05 18.5	046
K08H03S	C2008 05 08.88257	11 38 19.13	-03 05 12.2	046
K08H03S	C2008 05 08.88311	11 38 19.26	-03 05 07.7	046
K08H03S	C2008 05 08.88378	11 38 19.60	-03 05 03.9	046
K08H03S	C2008 05 08.88542	11 38 20.28	-03 04 53.2	046
K08H03S	C2008 05 08.88594	11 38 20.53	-03 04 49.0	046
K08H01W	C2008 05 09.02247	17 00 46.41	+45 21 03.4	046
K08H01W	C2008 05 09.02337	17 00 46.31	+45 21 19.6	046
K08H01W	C2008 05 09.02382	17 00 46.28	+45 21 27.7	046
K08H01W	C2008 05 09.02422	17 00 46.28	+45 21 35.1	046
K08H01W	C2008 05 09.02465	17 00 46.26	+45 21 42.7	046
K08H01W	C2008 05 09.02520	17 00 46.20	+45 21 52.6	046
K08H01W	C2008 05 09.02560	17 00 46.17	+45 21 59.7	046
K08H01W	C2008 05 09.02600	17 00 46.14	+45 22 07.0	046
K08H04V	C2008 05 08.92325	15 02 29.18	-12 27 47.2	046
CK02V94Q	C2008 05 08.99233	14 04 08.13	+15 50 38.5	046
CK02V94Q	C2008 05 08.99427	14 04 08.12	+15 50 39.1	046

CK02V94Q	C2008 05 08.99507	14 04 08.14 +15 50 38.1	046
CK02V94Q	C2008 05 08.99605	14 04 08.07 +15 50 39.1	046
CK02V94Q	C2008 05 08.99683	14 04 08.07 +15 50 38.9	046
CK02V94Q	C2008 05 08.99759	14 04 07.94 +15 50 38.4	046
CK02V94Q	C2008 05 08.99858	14 04 08.05 +15 50 38.4	046
CK05L030	C2008 05 08.97897	16 22 45.02 +19 32 36.6	046
CK05L030	C2008 05 08.98110	16 22 44.88 +19 32 37.8	046
CK05L030	C2008 05 08.98163	16 22 44.84 +19 32 37.7	046
CK05L030	C2008 05 08.98204	16 22 44.81 +19 32 38.4	046
CK05L030	C2008 05 08.98245	16 22 44.76 +19 32 38.5	046
CK05L030	C2008 05 08.98287	16 22 44.73 +19 32 38.2	046
CK05L030	C2008 05 08.98396	16 22 44.66 +19 32 39.0	046
CK08H010	C2008 05 09.01029	14 10 23.54 +75 26 41.4	046
CK08H010	C2008 05 09.01174	14 10 23.12 +75 26 39.8	046
CK08H010	C2008 05 09.01269	14 10 22.93 +75 26 37.8	046
CK08H010	C2008 05 09.01363	14 10 22.48 +75 26 37.2	046
CK08H010	C2008 05 09.01473	14 10 22.39 +75 26 35.0	046
CK08H010	C2008 05 09.01564	14 10 21.75 +75 26 34.7	046
CK08H010	C2008 05 09.01654	14 10 21.47 +75 26 32.8	046
PK08G020	C2008 05 08.97032	14 48 53.59 +12 35 03.8	046
PK08G020	C2008 05 08.97144	14 48 53.53 +12 35 03.0	046
PK08G020	C2008 05 08.97339	14 48 53.51 +12 35 03.3	046
PK08G020	C2008 05 08.97431	14 48 53.38 +12 35 02.9	046
PK08G020	C2008 05 08.97527	14 48 53.37 +12 35 02.1	046
02998	C2008 05 08.89728	15 02 33.84 -12 25 49.7	046
02998	C2008 05 08.90034	15 02 33.75 -12 25 49.2	046
02998	C2008 05 08.90140	15 02 33.62 -12 25 48.7	046
02998	C2008 05 08.91245	15 02 32.98 -12 25 45.7	046
02998	C2008 05 08.91566	15 02 32.81 -12 25 43.8	046
02998	C2008 05 08.91714	15 02 32.70 -12 25 43.3	046
02998	C2008 05 08.91801	15 02 32.67 -12 25 43.9	046
02998	C2008 05 08.91887	15 02 32.62 -12 25 44.0	046
02998	C2008 05 08.91969	15 02 32.54 -12 25 42.8	046
02998	C2008 05 08.92054	15 02 32.46 -12 25 43.1	046
02998	C2008 05 08.92161	15 02 32.45 -12 25 43.4	046
02998	C2008 05 08.92325	15 02 32.36 -12 25 43.1	046
K08E00L	C2008 03 08.93101	10 04 26.32 -02 14 56.4	046
K08E00L	C2008 03 08.93155	10 04 25.81 -02 14 55.4	046
K08E00L	C2008 03 10.02206	09 45 39.78 -01 23 09.7	046
K08E00L	C2008 03 10.02389	09 45 37.62 -01 23 04.1	046
K08E00L	C2008 03 10.02457	09 45 36.83 -01 22 59.9	046
K08E00L	C2008 03 10.02502	09 45 36.35 -01 23 00.2	046
K08E00L	C2008 03 10.02544	09 45 35.83 -01 22 58.9	046
K08E00L	C2008 03 10.02589	09 45 35.33 -01 22 58.1	046
K08E00L	C2008 03 10.02745	09 45 33.44 -01 22 53.2	046
K08E00L	C2008 03 10.02788	09 45 32.96 -01 22 51.2	046

K08E00L	C2008 03 10.02829	09 45 32.64 -01 22 50.9	046
K08E00L	C2008 03 10.02876	09 45 31.91 -01 22 48.3	046
K08E00L	C2008 03 10.02917	09 45 31.44 -01 22 47.2	046
K08E00L	C2008 03 10.02978	09 45 30.73 -01 22 45.1	046
K08E00L	C2008 03 10.03031	09 45 30.25 -01 22 43.8	046
K08E00L	C2008 03 10.03106	09 45 29.04 -01 22 41.0	046
K08E00K	C2008 03 10.04935	09 55 11.16 +05 20 17.7	046
K08E00K	C2008 03 10.05020	09 55 10.61 +05 20 05.4	046
K08E00K	C2008 03 10.05073	09 55 10.32 +05 19 55.7	046
K08E00K	C2008 03 10.05127	09 55 10.01 +05 19 48.8	046
K08E00K	C2008 03 10.05175	09 55 09.73 +05 19 40.2	046
K08E00K	C2008 03 10.05222	09 55 09.36 +05 19 33.1	046
K08E00K	C2008 03 10.05266	09 55 08.99 +05 19 26.7	046
K08E00K	C2008 03 10.05310	09 55 08.80 +05 19 19.7	046
K08E00K	C2008 03 10.05355	09 55 08.42 +05 19 14.0	046
K08E00K	C2008 03 10.05405	09 55 08.14 +05 19 04.8	046
K08E00K	C2008 03 10.05453	09 55 07.86 +05 18 56.6	046
K08E00K	C2008 03 10.05608	09 55 06.89 +05 18 34.2	046
K08C22D	C2008 03 10.06692	11 35 04.46 +45 48 51.6	046
K08C22D	C2008 03 10.06825	11 35 05.01 +45 48 53.8	046
K08C22D	C2008 03 10.06916	11 35 05.61 +45 48 55.9	046
K08C22D	C2008 03 10.07005	11 35 06.05 +45 48 57.4	046
K08C22D	C2008 03 10.07093	11 35 06.36 +45 48 59.8	046
K08C22D	C2008 03 10.07183	11 35 06.77 +45 49 01.3	046
K08C22D	C2008 03 10.07278	11 35 07.27 +45 49 03.4	046
K08D05K	C2008 03 10.08359	12 30 27.89 -06 51 30.2	046
K08D05K	C2008 03 10.08501	12 30 27.35 -06 51 27.4	046
K08D05K	C2008 03 10.08571	12 30 27.05 -06 51 26.4	046
K08D05K	C2008 03 10.08639	12 30 26.83 -06 51 25.5	046
K08D05K	C2008 03 10.08704	12 30 26.45 -06 51 25.5	046
K08D05K	C2008 03 10.08770	12 30 26.22 -06 51 23.8	046
K08D05K	C2008 03 10.08836	12 30 25.94 -06 51 23.1	046
K08D05K	C2008 03 10.08957	12 30 25.53 -06 51 20.7	046
K08E08D	C2008 03 09.98514	09 56 31.10 +02 36 52.7	046
K08E08D	C2008 03 09.98545	09 56 35.49 +02 37 11.7	046
K08E08D	rC2008 03 09.99188	09 58 07.26 +02 43 53.3	046
K08E08D	C2008 03 09.99212	09 58 10.82 +02 44 09.2	046
K08E08D	C2008 03 09.99237	09 58 14.48 +02 44 25.0	046
K08E08D	C2008 03 09.99263	09 58 18.17 +02 44 40.8	046
K08E08D	rC2008 03 09.99296	09 58 22.88 +02 45 01.8	046
K08E08D	rC2008 03 09.99333	09 58 28.19 +02 45 24.5	046
K08E08D	C2008 03 09.99363	09 58 32.51 +02 45 44.4	046
K08E08D	rC2008 03 09.99428	09 58 41.78 +02 46 24.8	046
K08E08D	rC2008 03 09.99450	09 58 45.03 +02 46 38.5	046
K08E08D	rC2008 03 09.99472	09 58 48.17 +02 46 52.4	046
K08E08D	rC2008 03 09.99492	09 58 51.15 +02 47 05.2	046

K08E08D	rC2008	03 09.99517	09 58 54.66	+02 47 20.7	046
K08E08D	rC2008	03 09.99540	09 58 58.02	+02 47 35.2	046
K08E08D	rC2008	03 09.99565	09 59 01.60	+02 47 51.5	046
K08E08D	rC2008	03 09.99586	09 59 04.67	+02 48 04.3	046
0124P	C2008	03 09.91998	09 39 40.11	+50 54 18.8	046
0124P	C2008	03 09.92190	09 39 39.89	+50 54 14.3	046
0124P	C2008	03 09.92338	09 39 39.68	+50 54 11.0	046
0124P	C2008	03 09.92479	09 39 39.51	+50 54 07.6	046
0124P	C2008	03 09.93035	09 39 38.81	+50 53 54.8	046
0124P	C2008	03 09.93204	09 39 38.63	+50 53 51.0	046
0124P	C2008	03 09.93396	09 39 38.38	+50 53 46.5	046
0124P	C2008	03 09.93568	09 39 38.15	+50 53 42.6	046
0124P	C2008	03 09.93772	09 39 37.91	+50 53 37.6	046
CK07W010	C2008	03 09.96278	12 41 55.16	-14 15 13.1	046
CK07W010	C2008	03 09.96408	12 41 55.07	-14 15 13.6	046
CK07W010	C2008	03 09.96533	12 41 55.05	-14 15 14.4	046
CK07W010	C2008	03 09.96754	12 41 54.94	-14 15 15.7	046
CK07W010	C2008	03 09.96893	12 41 54.93	-14 15 16.5	046
CK07W010	C2008	03 09.96965	12 41 54.87	-14 15 16.8	046
K06D62U	C2008	03 09.84857	09 05 11.24	-01 41 40.2	046
K06D62U	C2008	03 09.84937	09 05 11.18	-01 41 39.8	046
K06D62U	C2008	03 09.84996	09 05 11.20	-01 41 39.4	046
K06D62U	C2008	03 09.85054	09 05 11.17	-01 41 39.2	046
K06D62U	C2008	03 09.85114	09 05 11.16	-01 41 38.5	046
K07R19X	C2008	03 09.86347	08 31 00.79	+54 57 01.6	046
K07R19X	C2008	03 09.86457	08 31 00.81	+54 56 50.1	046
K07R19X	C2008	03 09.86534	08 31 00.79	+54 56 42.8	046
K07R19X	C2008	03 09.86587	08 31 00.92	+54 56 36.7	046
K07R19X	C2008	03 09.86641	08 31 00.92	+54 56 31.9	046
K07R19X	C2008	03 09.86697	08 31 00.95	+54 56 27.3	046
K07R19X	C2008	03 09.86757	08 31 00.96	+54 56 19.8	046
01620	C2008	03 09.90946	08 34 44.12	+02 04 43.7	046
01620	C2008	03 09.91093	08 34 43.40	+02 04 36.4	046
01620	C2008	03 09.91144	08 34 43.15	+02 04 33.9	046
01620	C2008	03 09.90946	08 34 44.12	+02 04 43.7	046
01620	C2008	03 09.91093	08 34 43.40	+02 04 36.4	046
01620	C2008	03 09.91144	08 34 43.15	+02 04 33.9	046
01620	C2008	03 09.91144	08 34 43.15	+02 04 33.9	046
01620	C2008	03 09.90946	08 34 44.12	+02 04 43.7	046
01620	C2008	03 09.91093	08 34 43.40	+02 04 36.4	046
01620	C2008	03 09.91144	08 34 43.15	+02 04 33.9	046
01620	C2008	03 09.90946	08 34 44.12	+02 04 43.7	046
01620	C2008	03 09.91093	08 34 43.40	+02 04 36.4	046
01620	C2008	03 09.91144	08 34 43.15	+02 04 33.9	046
01620	C2008	03 09.90946	08 34 44.12	+02 04 43.7	046
01620	C2008	03 09.91093	08 34 43.40	+02 04 36.4	046
01620	C2008	03 09.91144	08 34 43.15	+02 04 33.9	046

8E2FB55	C2008 03 09.88215	08 57 54.70	+40 55 47.6	046
8E2FB55	C2008 03 09.88368	08 57 54.65	+40 55 45.9	046
8E2FB55	C2008 03 09.88500	08 57 54.64	+40 55 45.6	046
8E2FB55	C2008 03 09.88691	08 57 54.49	+40 55 42.6	046
8E2FB55	C2008 03 09.88818	08 57 54.37	+40 55 40.1	046
8E2FB55	C2008 03 09.88943	08 57 54.30	+40 55 39.7	046
8E2FB55	C2008 03 09.89093	08 57 54.23	+40 55 38.3	046
8E2FB55	C2008 03 09.89258	08 57 54.03	+40 55 34.4	046
K08E00L	C2008 03 08.94494	10 04 13.10	-02 14 22.0	046
K08E00L	C2008 03 08.94557	10 04 12.46	-02 14 20.8	046
K08E00L	C2008 03 08.94619	10 04 11.92	-02 14 18.9	046
K08E00L	C2008 03 08.94670	10 04 11.43	-02 14 17.6	046
K08E00L	C2008 03 08.94724	10 04 10.90	-02 14 16.6	046
K08E00L	C2008 03 08.94775	10 04 10.39	-02 14 14.3	046
K08E00L	C2008 03 08.94828	10 04 09.92	-02 14 13.0	046
K08D00J	C2008 03 08.88281	09 24 46.54	+04 20 12.6	046
K08D00J	C2008 03 08.88426	09 24 46.68	+04 20 12.3	046
K08D00J	C2008 03 08.88541	09 24 46.81	+04 20 11.8	046
K08D00J	C2008 03 08.88765	09 24 47.11	+04 20 10.6	046
K08D00J	C2008 03 08.88894	09 24 47.25	+04 20 09.7	046
K08D00J	C2008 03 08.89008	09 24 47.41	+04 20 09.1	046
K08E01K	C2008 03 08.90333	09 46 44.08	+15 35 20.8	046
K08E01K	C2008 03 08.90435	09 46 44.10	+15 35 26.7	046
K08E01K	C2008 03 08.90528	09 46 44.13	+15 35 33.8	046
K08E01K	C2008 03 08.90608	09 46 44.19	+15 35 40.2	046
K08E01K	C2008 03 08.90686	09 46 44.21	+15 35 46.2	046
K08E01K	C2008 03 08.90769	09 46 44.23	+15 35 51.1	046
K08E01K	C2008 03 08.90854	09 46 44.20	+15 35 58.6	046
BJ19400	C2008 03 08.91521	09 42 23.77	+29 35 20.2	046
BJ19400	C2008 03 08.91752	09 42 23.43	+29 35 37.3	046
BJ19400	C2008 03 08.92061	09 42 22.70	+29 36 05.2	046
BJ19400	C2008 03 08.92147	09 42 22.56	+29 36 07.3	046
BJ19377	C2008 03 08.86367	07 32 50.28	-07 23 35.5	046
BJ19377	C2008 03 08.86415	07 32 51.81	-07 23 28.7	15.5 R 046
BJ19377	C2008 03 08.86448	07 32 52.93	-07 23 24.2	046
BJ19377	C2008 03 08.86482	07 32 54.03	-07 23 19.7	046
BJ19377	C2008 03 08.86516	07 32 55.08	-07 23 14.5	046
BJ19377	C2008 03 08.86547	07 32 56.12	-07 23 10.5	046
BJ19377	C2008 03 08.86578	07 32 57.16	-07 23 06.2	046
K08CB6R	C2008 02 17.05040	11 36 30.49	+34 27 08.2	046
K08CB6R	C2008 02 17.05122	11 36 30.07	+34 27 01.4	046
K08CB6R	C2008 02 17.05179	11 36 29.74	+34 26 57.7	046
K08CB6R	C2008 02 17.05237	11 36 29.46	+34 26 51.8	046
K08CB6R	C2008 02 17.05298	11 36 29.14	+34 26 46.6	046
K08CB6R	C2008 02 17.05358	11 36 28.83	+34 26 41.4	046
K08CB6R	C2008 02 17.05416	11 36 28.50	+34 26 37.4	046

K08C01L	C2008 02 17.06074	14 13 24.53	+32 57 32.5	046
K08C01L	C2008 02 17.06155	14 13 24.21	+32 57 31.2	046
K08C01L	C2008 02 17.06233	14 13 23.98	+32 57 29.4	046
K08C01L	C2008 02 17.06317	14 13 23.63	+32 57 28.0	046
K08C01L	C2008 02 17.06380	14 13 23.41	+32 57 26.4	046
K08C01L	C2008 02 17.06450	14 13 23.13	+32 57 24.9	046
K08C01L	C2008 02 17.06516	14 13 22.87	+32 57 24.0	046
K08C22D	C2008 02 17.01830	08 48 16.90	+12 35 21.1	046
K08C22D	C2008 02 17.01895	08 48 17.00	+12 35 26.5	046
K08C22D	C2008 02 17.01961	08 48 17.28	+12 35 29.8	046
K08C22D	C2008 02 17.02029	08 48 17.46	+12 35 34.2	046
K08C22D	C2008 02 17.02094	08 48 17.69	+12 35 39.4	046
K08C22D	C2008 02 17.02162	08 48 17.81	+12 35 43.1	046
K08C06C	C2008 02 17.02939	10 15 43.51	+12 22 02.1	046
K08C06C	C2008 02 17.03017	10 15 43.18	+12 22 07.3	046
K08C06C	C2008 02 17.03077	10 15 42.86	+12 22 10.2	046
K08C06C	C2008 02 17.03135	10 15 42.63	+12 22 13.5	046
K08C06C	C2008 02 17.03194	10 15 42.30	+12 22 17.1	046
K08C06C	C2008 02 17.03251	10 15 41.97	+12 22 20.6	046
K08C06C	C2008 02 17.03307	10 15 41.68	+12 22 24.5	046
K08C01N	C2008 02 17.03728	11 19 40.88	+14 59 49.4	046
K08C01N	C2008 02 17.03795	11 19 39.95	+14 59 49.6	046
K08C01N	C2008 02 17.03834	11 19 39.38	+14 59 49.1	046
K08C01N	C2008 02 17.03875	11 19 38.80	+14 59 49.1	046
K08C01N	C2008 02 17.03916	11 19 38.23	+14 59 50.3	046
K08C01N	C2008 02 17.03956	11 19 37.67	+14 59 49.8	046
K08C01N	C2008 02 17.03997	11 19 37.10	+14 59 49.7	046
K08A04F	C2008 02 16.99944	09 20 46.75	+39 07 45.2	046
K08A04F	C2008 02 17.00050	09 20 46.70	+39 07 44.9	046
K08A04F	C2008 02 17.00138	09 20 46.70	+39 07 44.8	046
K08A04F	C2008 02 17.00322	09 20 46.48	+39 07 44.8	046
K08A04F	C2008 02 17.00509	09 20 46.34	+39 07 43.1	046
J89A00Z	C2008 02 09.80277	06 09 24.31	+11 59 51.0	046
J89A00Z	C2008 02 09.80383	06 09 24.56	+11 59 49.7	046
J89A00Z	C2008 02 09.80778	06 09 25.36	+11 59 44.3	046
J89A00Z	C2008 02 09.80866	06 09 25.66	+11 59 43.9	046
J89A00Z	C2008 02 09.80949	06 09 25.75	+11 59 42.6	046
J89A00Z	C2008 02 09.81022	06 09 25.92	+11 59 41.9	046
K05B02E	C2008 02 10.02417	11 13 55.65	+21 00 49.5	046
K05B02E	C2008 02 10.02524	11 13 55.62	+21 00 50.8	046
K05B02E	C2008 02 10.02596	11 13 55.66	+21 00 52.3	046
K05B02E	C2008 02 10.02669	11 13 55.68	+21 00 53.3	046
K05B02E	C2008 02 10.02749	11 13 55.62	+21 00 54.1	046
K05B02E	C2008 02 10.02823	11 13 55.65	+21 00 55.1	046
K05T45U	C2008 02 09.81731	06 41 57.08	+45 19 12.6	046
K05T45U	C2008 02 09.81887	06 41 56.73	+45 19 20.7	046

K05T45U	C2008 02 09.81948	06 41 56.60	+45 19 23.8	046
K05T45U	C2008 02 09.82013	06 41 56.44	+45 19 27.1	046
K05T45U	C2008 02 09.82082	06 41 56.28	+45 19 30.8	046
K07T24U	C2008 02 09.95903	12 09 29.20	+26 33 06.2	046
K07T24U	C2008 02 09.95997	12 09 29.18	+26 33 05.4	046
K07T24U	C2008 02 09.96058	12 09 29.16	+26 33 04.9	046
K07T24U	C2008 02 09.96119	12 09 29.13	+26 33 04.2	046
K07T24U	C2008 02 09.96186	12 09 29.11	+26 33 03.7	046
K07T24U	C2008 02 09.96271	12 09 29.08	+26 33 03.0	046
K07Y00K	C2008 02 09.90463	10 10 21.93	+26 14 37.3	046
K07Y00K	C2008 02 09.90588	10 10 21.85	+26 14 40.3	046
K07Y00K	C2008 02 09.90682	10 10 21.77	+26 14 42.4	046
K07Y00K	C2008 02 09.90753	10 10 21.70	+26 14 44.2	046
K07Y00K	C2008 02 09.90828	10 10 21.67	+26 14 46.5	046
K08A00E	C2008 02 09.95278	12 06 38.75	+19 27 01.4	046
K08A00E	C2008 02 09.95378	12 06 38.96	+19 27 05.9	046
K08A00E	C2008 02 09.95439	12 06 39.06	+19 27 08.6	046
K08A00E	C2008 02 09.95503	12 06 39.19	+19 27 11.3	046
K08A00E	C2008 02 09.95565	12 06 39.31	+19 27 14.1	046
K08A04F	C2008 02 09.89301	09 31 34.34	+39 12 25.7	046
K08A04F	C2008 02 09.89422	09 31 34.20	+39 12 26.2	046
K08A04F	C2008 02 09.89523	09 31 34.08	+39 12 25.9	046
K08A04F	C2008 02 09.89606	09 31 33.96	+39 12 25.8	046
K08A04F	C2008 02 09.89683	09 31 33.89	+39 12 26.5	046
K08A04F	C2008 02 09.89757	09 31 33.80	+39 12 26.6	046
K08B15D	C2008 02 09.87242	08 16 14.18	+55 46 55.2	046
K08B15D	C2008 02 09.87302	08 16 13.95	+55 47 00.7	046
K08B15D	C2008 02 09.87393	08 16 13.57	+55 47 11.6	046
K08B15D	C2008 02 09.87444	08 16 13.46	+55 47 17.6	046
K08B15D	C2008 02 09.87490	08 16 13.16	+55 47 22.0	046
K08B15D	C2008 02 09.87490	08 16 13.16	+55 47 22.0	046
K08COOP	C2008 02 09.83972	09 14 46.20	+16 10 24.3	046
K08COOP	C2008 02 09.84026	09 14 46.36	+16 10 33.9	046
K08COOP	C2008 02 09.84098	09 14 46.42	+16 10 46.1	046
K08COOP	C2008 02 09.84142	09 14 46.50	+16 10 54.0	046
K08COOP	C2008 02 09.84187	09 14 46.57	+16 11 01.0	046
K08C01N	C2008 02 09.97127	13 29 13.91	+12 35 41.8	046
K08C01N	C2008 02 09.97201	13 29 13.32	+12 35 43.2	046
K08C01N	C2008 02 09.97248	13 29 12.93	+12 35 44.1	046
K08C01N	C2008 02 09.97295	13 29 12.56	+12 35 44.8	046
K08C01N	C2008 02 09.97341	13 29 12.18	+12 35 45.6	046
K02C26F	C2008 02 10.01435	11 15 25.38	+25 01 29.6	046
K02C26F	C2008 02 10.01544	11 15 25.16	+25 01 28.9	046
K02C26F	C2008 02 10.01628	11 15 25.04	+25 01 28.6	046
K02C26F	C2008 02 10.01715	11 15 24.96	+25 01 27.7	046
K02C26F	C2008 02 10.01809	11 15 24.77	+25 01 28.6	046

K02C26F	C2008 02 10.01899	11 15 24.58	+25 01 27.7	046
K02C26F	C2008 02 10.01985	11 15 24.51	+25 01 27.3	046
K02C26F	C2008 02 10.02068	11 15 24.33	+25 01 27.2	046
K03E16E	C2008 02 10.00514	11 16 09.64	+05 40 30.4	046
K03E16E	C2008 02 10.00615	11 16 09.33	+05 40 32.3	046
K03E16E	C2008 02 10.00689	11 16 09.14	+05 40 33.6	046
K03E16E	C2008 02 10.00763	11 16 08.92	+05 40 34.7	046
K03E16E	C2008 02 10.00838	11 16 08.73	+05 40 36.1	046
K03E16E	C2008 02 10.00912	11 16 08.47	+05 40 38.3	046
K08COOH	C2008 02 09.98900	13 43 17.08	+24 31 55.5	046
K08COOH	C2008 02 09.98995	13 43 16.72	+24 32 01.2	046
K08COOH	C2008 02 09.99058	13 43 16.56	+24 32 05.7	046
K08COOH	C2008 02 09.99123	13 43 16.36	+24 32 09.0	046
K08COOH	C2008 02 09.99189	13 43 16.13	+24 32 13.0	046
K08C20L	C2008 02 09.91584	11 05 10.28	+14 44 15.7	046
K08C20L	C2008 02 09.91640	11 05 08.49	+14 44 03.7	046
K08C20L	C2008 02 09.91694	11 05 06.89	+14 43 52.0	046
K08C20L	C2008 02 09.91737	11 05 05.46	+14 43 43.1	046
K08C20L	C2008 02 09.91784	11 05 03.94	+14 43 32.8	046
K08C20L	C2008 02 09.91823	11 05 02.71	+14 43 24.2	046
K08C20L	C2008 02 09.91872	11 05 01.17	+14 43 14.5	046
K08C20L	C2008 02 09.91913	11 04 59.87	+14 43 05.6	046
0029P	C2008 02 13.04144	05 48 09.22	+29 46 58.1	046
0029P	C2008 02 13.04310	05 48 09.16	+29 46 58.0	046
0029P	C2008 02 13.04397	05 48 09.08	+29 46 58.7	046
0029P	C2008 02 13.04480	05 48 09.05	+29 46 57.8	046
0029P	C2008 02 13.04436	05 48 09.24	+29 46 58.2	046
0065P	C2008 02 13.05965	08 26 06.30	+30 52 25.1	046
0065P	C2008 02 13.06128	08 26 06.19	+30 52 25.0	046
0065P	C2008 02 13.06262	08 26 06.13	+30 52 26.0	046
0065P	C2008 02 13.06326	08 26 06.11	+30 52 25.4	046
0065P	C2008 02 13.06400	08 26 06.08	+30 52 25.0	046
0065P	C2008 02 13.06514	08 26 06.08	+30 52 25.7	046
K08C01L	C2008 02 13.09361	14 34 04.03	+34 55 03.6	046
K08C01L	C2008 02 13.09459	14 34 03.76	+34 55 02.0	046
K08C01L	C2008 02 13.09536	14 34 03.55	+34 55 00.8	046
K08C01L	C2008 02 13.09612	14 34 03.35	+34 54 59.4	046
K08C01L	C2008 02 13.09686	14 34 03.13	+34 54 58.9	046
K08C01L	C2008 02 13.09766	14 34 02.89	+34 54 58.0	046
K08C01L	C2008 02 13.09844	14 34 02.68	+34 54 56.8	046
K08C70K	C2008 02 13.99094	11 03 32.13	-07 03 15.2	046
K08C70K	C2008 02 13.99186	11 03 34.80	-07 03 36.0	046
K08C70K	C2008 02 13.99231	11 03 36.14	-07 03 46.7	046
K08C70K	C2008 02 13.99292	11 03 37.84	-07 03 59.0	046
K08C70K	C2008 02 13.99337	11 03 39.21	-07 04 09.7	046
K08C70K	C2008 02 13.99373	11 03 40.19	-07 04 17.7	046

K08C70K	C2008	02	13.99407	11	03	41.17	-07	04	25.4	046
K08B16H	C2008	02	13.97637	10	05	43.09	+68	57	27.9	046
K08B16H	C2008	02	13.97703	10	05	43.50	+68	57	37.0	046
K08B16H	C2008	02	13.97769	10	05	43.64	+68	57	46.4	046
K08B16H	C2008	02	13.97834	10	05	44.09	+68	57	55.1	046
K08B16H	C2008	02	13.97904	10	05	44.20	+68	58	04.2	046
K08B16H	C2008	02	13.97971	10	05	44.52	+68	58	15.1	046
K06D62U	C2008	02	14.00292	11	24	17.71	-15	30	52.0	046
K06D62U	C2008	02	14.00374	11	24	16.25	-15	30	46.4	046
K06D62U	C2008	02	14.00411	11	24	15.58	-15	30	43.5	046
K06D62U	C2008	02	14.00453	11	24	14.81	-15	30	40.4	046
K06D62U	C2008	02	14.00499	11	24	14.02	-15	30	37.0	046
K06D62U	C2008	02	14.00539	11	24	13.30	-15	30	34.2	046
K06D62U	C2008	02	14.00591	11	24	12.38	-15	30	30.3	046
K08C01N	C2008	02	14.01094	12	23	50.71	+14	22	09.5	046
K08C01N	C2008	02	14.01152	12	23	50.00	+14	22	10.4	046
K08C01N	C2008	02	14.01190	12	23	49.54	+14	22	11.0	046
K08C01N	C2008	02	14.01229	12	23	49.06	+14	22	11.5	046
K08C01N	C2008	02	14.01269	12	23	48.58	+14	22	12.0	046
K08C01N	C2008	02	14.01308	12	23	48.12	+14	22	12.4	046
K08C01N	C2008	02	14.01347	12	23	47.64	+14	22	13.1	046
K08B15D	C2008	02	13.89388	07	46	22.07	+66	23	52.6	046
K08B15D	C2008	02	13.89480	07	46	21.56	+66	23	59.5	046
K08B15D	C2008	02	13.89552	07	46	21.19	+66	24	05.4	046
K08B15D	C2008	02	13.89618	07	46	20.67	+66	24	10.5	046
K08B15D	C2008	02	13.89720	07	46	20.20	+66	24	18.7	046
K08B15D	C2008	02	13.89795	07	46	19.79	+66	24	25.1	046
K08B15D	C2008	02	13.89859	07	46	19.39	+66	24	29.7	046
K08C22D	C2008	02	13.90759	08	33	33.08	+07	08	07.2	046
K08C22D	C2008	02	13.90872	08	33	33.35	+07	08	13.2	046
K08C22D	C2008	02	13.90935	08	33	33.52	+07	08	17.1	046
K08C22D	C2008	02	13.90997	08	33	33.64	+07	08	20.7	046
K08C22D	C2008	02	13.91061	08	33	33.73	+07	08	25.0	046
K08C22D	C2008	02	13.91120	08	33	33.95	+07	08	28.1	046
K08C22D	C2008	02	13.91182	08	33	34.09	+07	08	32.7	046
K08A04F	C2008	02	13.92177	09	24	48.92	+39	15	06.0	046
K08A04F	C2008	02	13.92274	09	24	48.84	+39	15	06.4	046
K08A04F	C2008	02	13.92367	09	24	48.73	+39	15	06.1	046
K08A04F	C2008	02	13.92456	09	24	48.66	+39	15	05.9	046
K08A04F	C2008	02	13.92545	09	24	48.59	+39	15	05.6	046
K08A04F	C2008	02	13.92633	09	24	48.49	+39	15	05.9	046
K08A04F	C2008	02	13.92722	09	24	48.38	+39	15	05.4	046
K06J25Y	C2008	02	13.93793	08	39	12.90	+68	20	54.5	046
K06J25Y	C2008	02	13.94024	08	39	12.52	+68	20	36.2	046
K06J25Y	C2008	02	13.94167	08	39	12.40	+68	20	26.1	046
K06J25Y	C2008	02	13.94237	08	39	12.48	+68	20	20.7	046

K06J25Y	C2008 02 13.94306 08 39 12.50 +68 20 16.0	046
K06J25Y	C2008 02 13.94306 08 39 12.50 +68 20 16.0	046
K08C00P	C2008 02 13.95567 09 32 57.66 +35 08 39.8	046
K08C00P	C2008 02 13.95848 09 32 58.29 +35 09 23.3	046
K08C00P	C2008 02 13.95916 09 32 58.41 +35 09 32.5	046
K08C00P	C2008 02 13.95979 09 32 58.60 +35 09 42.5	046
K08C00P	C2008 02 13.96047 09 32 58.71 +35 09 53.8	046
K08C00P	C2008 02 13.96111 09 32 58.87 +35 10 03.1	046
K08C00P	C2008 02 13.96177 09 32 59.11 +35 10 14.6	046
CK06S050	C2008 02 12.99972 07 37 40.23 +15 36 49.3	046
CK06S050	C2008 02 13.00071 07 37 40.23 +15 36 49.2	046
CK06S050	C2008 02 13.00111 07 37 40.22 +15 36 48.9	046
CK06S050	C2008 02 13.00154 07 37 40.21 +15 36 48.8	046
CK06S050	C2008 02 13.00197 07 37 40.22 +15 36 49.0	046
CK06S050	C2008 02 13.00240 07 37 40.21 +15 36 49.1	046
CK06S050	C2008 02 13.00284 07 37 40.23 +15 36 49.0	046
CK07B020	C2008 02 13.02362 12 50 01.93 +07 14 18.7	046
CK07B020	C2008 02 13.02464 12 50 01.93 +07 14 18.4	046
CK07B020	C2008 02 13.02521 12 50 01.93 +07 14 18.2	046
CK07B020	C2008 02 13.02576 12 50 01.93 +07 14 18.1	046
CK07B020	C2008 02 13.02646 12 50 01.91 +07 14 18.3	046
CK07B020	C2008 02 13.02701 12 50 01.89 +07 14 18.0	046
CK07B020	C2008 02 13.02757 12 50 01.88 +07 14 17.9	046
8C2197A	C2008 02 13.08233 12 07 03.54 +41 44 16.6	046
8C2197A	C2008 02 13.08384 12 07 02.93 +41 44 08.3	046
8C2197A	C2008 02 13.08459 12 07 02.60 +41 44 05.0	046
8C2197A	C2008 02 13.08542 12 07 02.23 +41 44 00.1	046
8C2197A	C2008 02 13.08625 12 07 01.86 +41 43 55.8	046
8C2197A	C2008 02 13.08701 12 07 01.53 +41 43 52.1	046
K08C70K	C2008 02 12.96435 10 36 01.46 -03 44 54.2	046
K08C70K	C2008 02 12.96527 10 36 02.08 -03 44 59.4	046
K08C70K	C2008 02 12.96586 10 36 02.49 -03 45 03.1	046
K08C70K	C2008 02 12.96653 10 36 02.91 -03 45 07.0	046
K08C70K	C2008 02 12.96721 10 36 03.45 -03 45 11.5	046
K08C70K	C2008 02 12.96774 10 36 03.83 -03 45 14.6	046
K08C70K	C2008 02 12.96830 10 36 04.19 -03 45 17.4	046
K08C01N	C2008 02 12.97868 12 42 58.15 +13 57 54.8	046
K08C01N	C2008 02 12.97941 12 42 57.35 +13 57 56.0	046
K08C01N	C2008 02 12.97985 12 42 56.87 +13 57 56.6	046
K08C01N	C2008 02 12.98032 12 42 56.35 +13 57 57.3	046
K08C01N	C2008 02 12.98079 12 42 55.84 +13 57 58.0	046
K08C22D	C2008 02 12.89431 08 29 17.36 +05 29 19.2	046
K08C22D	C2008 02 12.89664 08 29 17.85 +05 29 32.2	046
K08C22D	C2008 02 12.89769 08 29 18.09 +05 29 38.9	046
K08C22D	C2008 02 12.89829 08 29 18.19 +05 29 42.2	046
K08C22D	C2008 02 12.89891 08 29 18.31 +05 29 45.2	046

K08C22D	C2008 02 12.89955 08 29 18.50 +05 29 48.7	046
K08C22D	C2008 02 12.90086 08 29 18.73 +05 29 56.8	046
K08C22D	C2008 02 12.90017 08 29 18.56 +05 29 52.8	046
K08A04F	C2008 02 12.92519 09 26 19.26 +39 15 52.3	046
K08A04F	C2008 02 12.92625 09 26 19.14 +39 15 52.5	046
K08A04F	C2008 02 12.92690 09 26 19.09 +39 15 52.8	046
K08A04F	C2008 02 12.92753 09 26 19.00 +39 15 52.7	046
K08A04F	C2008 02 12.92819 09 26 18.91 +39 15 52.4	046
K08A04F	C2008 02 12.92980 09 26 18.77 +39 15 52.6	046
K08A04F	C2008 02 12.93045 09 26 18.70 +39 15 52.6	046
K08B15D	C2008 02 12.94314 07 54 23.33 +64 12 27.7	046
K08B15D	C2008 02 12.94409 07 54 22.70 +64 12 36.8	046
K08B15D	C2008 02 12.94562 07 54 21.94 +64 12 49.7	046
K08B15D	C2008 02 12.94634 07 54 21.54 +64 12 55.9	046
K08B15D	C2008 02 12.94703 07 54 21.39 +64 13 00.6	046
K08B15D	C2008 02 12.94780 07 54 20.81 +64 13 08.0	046
K08B15D	C2008 02 12.94845 07 54 20.54 +64 13 13.3	046
BI55989	C2008 02 12.90527 08 39 54.49 +17 44 41.0	046
BI55989	C2008 02 12.90690 08 39 55.58 +17 44 36.3	046
BI55989	C2008 02 12.90879 08 39 56.66 +17 44 30.4	046
BI55989	C2008 02 12.90937 08 39 57.02 +17 44 29.0	046
BI55989	C2008 02 12.91014 08 39 57.51 +17 44 27.0	046
BI55989	C2008 02 12.91087 08 39 58.02 +17 44 25.2	046
BI55989	C2008 02 12.91160 08 39 58.41 +17 44 22.9	046
K08C01N	C2008 02 12.02885 12 59 02.71 +13 33 05.8	046
K08C01N	C2008 02 12.02951 12 59 02.03 +13 33 06.9	046
K08C01N	C2008 02 12.02998 12 59 01.55 +13 33 07.8	046
K08C01N	C2008 02 12.03042 12 59 01.14 +13 33 08.7	046
K08C01N	C2008 02 12.03086 12 59 00.65 +13 33 09.4	046
K08C01N	C2008 02 12.03131 12 59 00.21 +13 33 10.0	046
K08C01N	C2008 02 12.03176 12 58 59.77 +13 33 11.1	046
K08C70K	C2008 02 12.00311 10 26 58.72 -02 38 46.2	046
K08C70K	C2008 02 12.00406 10 26 58.97 -02 38 49.1	046
K08C70K	C2008 02 12.00572 10 26 59.59 -02 38 54.2	046
K08C70K	C2008 02 12.00641 10 26 59.79 -02 38 56.6	046
K08C01L	C2008 02 12.07612 14 38 21.98 +35 18 19.8	046
K08C01L	C2008 02 12.07756 14 38 21.58 +35 18 17.3	046
K08C01L	C2008 02 12.07850 14 38 21.41 +35 18 16.4	046
K08C01L	C2008 02 12.08028 14 38 20.93 +35 18 14.6	046
K08C01L	C2008 02 12.08115 14 38 20.66 +35 18 13.1	046
K08C01L	C2008 02 12.08204 14 38 20.45 +35 18 12.4	046
K08C01L	C2008 02 12.08293 14 38 20.27 +35 18 10.9	046
8C2197A	C2008 02 12.01005 12 14 12.76 +43 11 19.7	046
8C2197A	C2008 02 12.01113 12 14 12.37 +43 11 15.3	046
8C2197A	C2008 02 12.01178 12 14 12.18 +43 11 12.2	046
8C2197A	C2008 02 12.01243 12 14 11.90 +43 11 09.5	046

8C2197A	C2008 02 12.01307	12 14 11.55 +43 11 06.1	046
K08A04F	C2008 02 11.94441	09 27 54.16 +39 15 46.5	046
K08A04F	C2008 02 11.94549	09 27 54.02 +39 15 46.6	046
K08A04F	C2008 02 11.94649	09 27 53.92 +39 15 46.7	046
K08A04F	C2008 02 11.94865	09 27 53.67 +39 15 46.6	046
K08A04F	C2008 02 11.94990	09 27 53.54 +39 15 46.7	046
K08A04F	C2008 02 11.95244	09 27 53.22 +39 15 47.1	046
CK08C010	C2008 02 11.90087	00 10 04.58 +61 21 42.7	046
CK08C010	C2008 02 11.90133	00 10 04.85 +61 21 42.5	046
CK08C010	C2008 02 11.90237	00 10 05.16 +61 21 42.4	046
CK08C010	C2008 02 11.90284	00 10 05.39 +61 21 42.3	046
CK08C010	C2008 02 11.90331	00 10 05.59 +61 21 41.7	046
CK08C010	C2008 02 11.90402	00 10 05.83 +61 21 41.5	046
CK08C010	C2008 02 11.90471	00 10 06.09 +61 21 40.9	046
K07Y01X	C2008 01 25.76968	01 36 35.19 +36 31 47.4	046
K07Y01X	C2008 01 25.77641	01 36 36.43 +36 31 48.5	046
K07Y01X	C2008 01 25.77740	01 36 36.53 +36 31 47.7	046
K07Y01X	C2008 01 25.78021	01 36 37.09 +36 31 46.4	046
J89A00Z	C2008 01 25.79325	04 45 02.04 +20 09 53.1	046
J89A00Z	C2008 01 25.79475	04 45 02.77 +20 09 48.3	046
J89A00Z	C2008 01 25.79534	04 45 03.06 +20 09 47.6	046
J89A00Z	C2008 01 25.79652	04 45 03.67 +20 09 43.7	046
J89A00Z	C2008 01 25.79776	04 45 04.28 +20 09 41.4	046
J89A00Z	C2008 01 25.79835	04 45 04.59 +20 09 39.2	046
J89A00Z	C2008 01 25.79903	04 45 04.96 +20 09 37.5	046
K05X01D	C2008 01 25.82190	04 50 33.93 +07 06 32.5	046
K05X01D	C2008 01 25.83009	04 50 34.88 +07 05 54.6	046
CK06W030	C2008 01 25.86888	03 37 04.96 +61 49 16.1	046
CK06W030	C2008 01 25.86972	03 37 04.95 +61 49 15.9	046
CK06W030	C2008 01 25.87029	03 37 04.84 +61 49 15.6	046
CK06W030	C2008 01 25.87123	03 37 04.78 +61 49 15.3	046
CK06W030	C2008 01 25.87175	03 37 04.71 +61 49 15.1	046
CK06W030	C2008 01 25.87228	03 37 04.71 +61 49 15.5	046
CK06W030	C2008 01 25.87282	03 37 04.63 +61 49 14.5	046
CK06S050	C2008 01 25.88561	07 43 00.79 +16 33 56.6	046
CK06S050	C2008 01 25.88664	07 43 00.74 +16 33 55.3	046
CK06S050	C2008 01 25.88910	07 43 00.68 +16 33 54.4	046
K07T24U	C2008 01 25.74372	00 30 10.82 -13 54 14.4	046
K07T24U	C2008 01 25.75194	00 30 11.80 -13 52 47.5	046
0008P	C2008 01 06.84292	01 55 53.38 +03 12 20.9	046
0008P	C2008 01 06.84344	01 55 53.52 +03 12 15.2	046
0008P	C2008 01 06.84417	01 55 53.62 +03 12 05.8	046
0008P	C2008 01 06.84558	01 55 53.86 +03 11 47.6	046
0008P	C2008 01 06.84637	01 55 54.00 +03 11 37.2	046
0008P	C2008 01 06.84795	01 55 54.27 +03 11 16.8	046
0008P	C2008 01 06.84832	01 55 54.33 +03 11 11.7	046

0017P	C2008 01 06.85774 02 59 57.45 +43 11 15.0	046
0017P	C2008 01 06.85845 02 59 57.49 +43 11 14.9	046
0017P	C2008 01 06.85910 02 59 57.51 +43 11 14.4	046
0017P	C2008 01 06.85975 02 59 57.51 +43 11 14.1	046
0017P	C2008 01 06.86052 02 59 57.50 +43 11 13.8	046
0017P	C2008 01 06.86130 02 59 57.57 +43 11 13.2	046
0017P	C2008 01 06.86260 02 59 57.53 +43 11 12.1	046
0017P	C2008 01 06.86328 02 59 57.57 +43 11 11.8	046
CK07W030	C2008 01 06.87793 00 44 18.52 +77 07 05.1	046
CK07W030	C2008 01 06.87906 00 44 18.14 +77 07 04.0	046
CK07W030	C2008 01 06.88072 00 44 17.71 +77 07 03.0	046
CK07W030	C2008 01 06.88343 00 44 16.75 +77 07 00.5	046
CK07W030	C2008 01 06.88424 00 44 16.27 +77 06 59.6	046
CK07W030	C2008 01 06.88572 00 44 15.62 +77 06 57.7	046
CK07W030	C2008 01 06.88654 00 44 15.50 +77 06 57.0	046
CK07W030	C2008 01 06.88728 00 44 15.21 +77 06 56.4	046
K05W56J	C2008 01 06.90155 06 29 13.52 +53 06 05.8	046
K05W56J	C2008 01 06.90209 06 29 12.52 +53 05 53.1	046
K05W56J	C2008 01 06.90245 06 29 11.83 +53 05 44.4	046
K05W56J	C2008 01 06.90315 06 29 10.54 +53 05 28.0	046
K05W56J	C2008 01 06.90350 06 29 09.84 +53 05 19.2	046
K05W56J	C2008 01 06.90388 06 29 09.14 +53 05 10.2	046
H0903	C2008 01 06.83088 01 59 11.24 +12 53 19.1	046
H0903	C2008 01 06.83243 01 59 10.76 +12 53 19.0	046
H0903	C2008 01 06.83330 01 59 10.53 +12 53 18.6	046
H0903	C2008 01 06.83412 01 59 10.39 +12 53 18.5	046
H0903	C2008 01 06.83497 01 59 10.08 +12 53 18.2	046
H0903	C2008 01 06.83572 01 59 09.86 +12 53 18.5	046
K07006S	C2007 11 05.77330 02 10 47.37 +13 07 59.5	046
K07006S	C2007 11 05.77413 02 10 47.33 +13 08 00.9	046
K07006S	C2007 11 05.77475 02 10 47.25 +13 08 02.5	046
K07006S	C2007 11 05.77535 02 10 47.25 +13 08 03.7	046
K07006S	C2007 11 05.77660 02 10 47.16 +13 08 05.8	046
K07006S	C2007 11 05.77722 02 10 47.13 +13 08 07.5	046
PK07S010	C2007 11 05.75986 00 23 41.54 -05 37 44.8	046
PK07S010	C2007 11 05.76123 00 23 41.52 -05 37 44.4	046
PK07S010	C2007 11 05.76213 00 23 41.51 -05 37 44.8	046
PK07S010	C2007 11 05.76314 00 23 41.52 -05 37 44.5	046
PK07S010	C2007 11 05.76402 00 23 41.52 -05 37 43.8	046
PK07S010	C2007 11 05.76589 00 23 41.54 -05 37 43.8	046
PK07S010	C2007 11 05.76678 00 23 41.43 -05 37 43.8	046
PJ98S010	C2007 11 05.81835 23 46 12.22 +02 45 59.7	046
PJ98S010	C2007 11 05.81974 23 46 12.20 +02 45 59.4	046
PJ98S010	C2007 11 05.82031 23 46 12.20 +02 45 59.7	046
0093P	C2007 11 05.74185 00 25 39.61 +24 58 57.3	046
0093P	C2007 11 05.74306 00 25 39.61 +24 58 57.7	046

0093P	C2007 11 05.74354 00 25 39.58 +24 58 57.7	046
0093P	C2007 11 05.74401 00 25 39.58 +24 58 57.6	046
0093P	C2007 11 05.74451 00 25 39.56 +24 58 57.9	046
K07T08G	C2007 10 10.87730 23 29 30.65 +18 08 34.7	046
K07T08G	C2007 10 10.88000 23 29 30.18 +18 08 37.5	046
K07T08G	C2007 10 10.88096 23 29 30.00 +18 08 39.0	046
K07T08G	C2007 10 10.88193 23 29 29.90 +18 08 39.7	046
K07T08G	C2007 10 10.88287 23 29 29.74 +18 08 40.4	046
K07T15G	C2007 10 10.88755 00 18 45.67 +23 26 15.2	046
K07T15G	C2007 10 10.88875 00 18 45.65 +23 26 16.1	046
K07T15G	C2007 10 10.88966 00 18 45.66 +23 26 17.0	046
K07T15G	C2007 10 10.89141 00 18 45.60 +23 26 17.6	046
K07T15G	C2007 10 10.89230 00 18 45.62 +23 26 17.4	046
CK07N030	C2007 10 10.79909 21 17 58.45 -15 19 08.5	046
CK07N030	C2007 10 10.80025 21 17 58.38 -15 19 08.5	046
CK07N030	C2007 10 10.80139 21 17 58.37 -15 19 09.0	046
CK07N030	C2007 10 10.80260 21 17 58.30 -15 19 08.7	046
CK06002F	C2007 10 10.77913 21 14 30.93 -07 48 58.7	046
CK06002F	C2007 10 10.78031 21 14 30.92 -07 48 58.9	046
CK06002F	C2007 10 10.78141 21 14 30.90 -07 48 58.4	046
CK06002F	C2007 10 10.78229 21 14 30.89 -07 48 58.3	046
CK06002F	C2007 10 10.78409 21 14 30.87 -07 48 58.4	046
K07L32R	C2007 10 08.96823 23 00 06.14 +31 37 57.1	046
K07L32R	C2007 10 08.96914 23 00 06.34 +31 37 56.6	046
K07L32R	C2007 10 08.97005 23 00 06.35 +31 37 55.2	17.0 R
K07L32R	C2007 10 08.97101 23 00 06.50 +31 37 54.0	046
K07L32R	C2007 10 08.97322 23 00 06.69 +31 37 52.4	046
K07L32R	C2007 10 08.97412 23 00 06.74 +31 37 51.4	046
K07L32R	C2007 10 08.97528 23 00 06.89 +31 37 50.2	046
K07POOR	C2007 10 08.93167 21 28 01.87 +06 39 08.5	046
K07POOR	C2007 10 08.93414 21 28 02.03 +06 39 10.6	046
K07POOR	C2007 10 08.93505 21 28 02.06 +06 39 11.0	046
K07POOR	C2007 10 08.93597 21 28 02.12 +06 39 11.2	046
K07S11G	C2007 10 08.89115 22 23 56.36 -09 24 17.4	046
K07S11G	C2007 10 08.89178 22 23 56.04 -09 24 24.2	046
K07S11G	C2007 10 08.89262 22 23 55.59 -09 24 34.8	046
K07S11G	C2007 10 08.89333 22 23 55.21 -09 24 43.0	046
K07S11G	C2007 10 08.89440 22 23 54.62 -09 24 56.2	046
K07S11G	C2007 10 08.89499 22 23 54.33 -09 25 02.6	046
7T4A171	C2007 10 09.76354 17 18 03.49 -09 52 04.2	046
7T4A171	C2007 10 09.76406 17 18 03.46 -09 52 05.7	046
7T4A171	C2007 10 09.76459 17 18 03.43 -09 52 06.6	046
7T4A171	C2007 10 09.76512 17 18 03.40 -09 52 08.0	046
7T4A171	C2007 10 09.76565 17 18 03.38 -09 52 09.6	046
7T4A171	C2007 10 09.76122 17 18 03.60 -09 51 58.0	046
7T4A171	C2007 10 09.76197 17 18 03.58 -09 52 00.1	046

7T4A171	C2007 10 09.76250	17 18 03.54 -09 52 01.9		046
7T4A171	C2007 10 09.76303	17 18 03.52 -09 52 02.9		046
N4108	C2007 08 18.93652	21 00 31.73 -21 16 25.6	17.1 R	046
N4108	C2007 08 18.93740	21 00 31.70 -21 16 25.9		046
N4108	C2007 08 18.93843	21 00 31.65 -21 16 26.2		046
N4109	C2007 08 18.98126	00 28 43.90 +26 02 05.6	18.5 R	046
N4109	C2007 08 18.98247	00 28 43.85 +26 02 05.6		046
N4109	C2007 08 18.98481	00 28 43.83 +26 02 03.1		046
N4109	C2007 08 18.98627	00 28 43.80 +26 02 04.2		046
K03Q33E	C2007 08 18.88836	20 50 46.03 -10 15 44.8		046
K03Q33E	C2007 08 18.88933	20 50 45.96 -10 15 44.3		046
K03Q33E	C2007 08 18.89020	20 50 45.87 -10 15 44.3		046
K03Q33E	C2007 08 18.89108	20 50 45.84 -10 15 43.6		046
K03Q33E	C2007 08 18.89196	20 50 45.77 -10 15 43.9		046
K03Q33E	C2007 08 18.89282	20 50 45.71 -10 15 43.2		046
02060	C2007 08 18.88836	20 50 34.86 -10 11 53.7		046
02060	C2007 08 18.88933	20 50 34.84 -10 11 53.8		046
02060	C2007 08 18.89020	20 50 34.83 -10 11 53.8		046
02060	C2007 08 18.89108	20 50 34.82 -10 11 53.5		046
02060	C2007 08 18.89196	20 50 34.81 -10 11 53.8		046
02060	C2007 08 18.89282	20 50 34.80 -10 11 53.8		046
02060	C2007 08 18.89370	20 50 34.79 -10 11 54.3		046
K07P28F	C2007 08 18.90056	21 40 47.46 +11 40 41.3		046
K07P28F	C2007 08 18.90161	21 40 47.09 +11 40 45.2		046
K07P28F	C2007 08 18.90296	21 40 46.60 +11 40 50.1		046
K07P28F	C2007 08 18.90367	21 40 46.35 +11 40 52.8		046
K07P28F	C2007 08 18.90503	21 40 45.86 +11 40 57.8		046
K07P28F	C2007 08 18.90578	21 40 45.58 +11 41 00.6		046
K07P09P	C2007 08 18.91174	23 25 59.09 -01 46 03.2		046
K07P09P	C2007 08 18.91225	23 25 59.25 -01 46 01.5		046
K07P09P	C2007 08 18.91282	23 25 59.42 -01 45 57.5		046
K07P09P	C2007 08 18.91336	23 25 59.60 -01 45 54.2		046
K07P09P	C2007 08 18.91392	23 25 59.78 -01 45 51.8		046
K07P09P	C2007 08 18.91450	23 26 00.03 -01 45 48.3		046
K07P27V	C2007 08 18.93843	21 00 42.84 -21 13 58.9		046
K07P27V	C2007 08 18.93988	21 00 42.37 -21 13 54.0		046
K07P27V	C2007 08 18.94052	21 00 42.14 -21 13 50.7		046
K07P27V	C2007 08 18.94182	21 00 41.70 -21 13 46.7		046
K07P08B	C2007 08 18.96203	22 38 55.80 +00 24 25.0		046
K07P08B	C2007 08 18.96278	22 38 55.53 +00 24 25.7		046
K07P08B	C2007 08 18.96365	22 38 55.25 +00 24 27.1		046
K07P08B	C2007 08 18.96441	22 38 54.89 +00 24 29.2		046
K07D08K	C2007 08 18.97306	00 03 03.20 +04 52 24.8		046
K07D08K	C2007 08 18.97383	00 03 03.18 +04 52 19.7		046
K07D08K	C2007 08 18.97444	00 03 03.17 +04 52 15.0		046
K07D08K	C2007 08 18.97508	00 03 03.06 +04 52 11.2		046

K07D08K	C2007 08 18.97575 00 03 02.99 +04 52 06.1	046
K07P11U	C2007 08 18.98126 00 28 38.65 +26 08 39.1	046
K07P11U	C2007 08 18.98247 00 28 38.78 +26 08 39.8	046
K07P11U	C2007 08 18.98329 00 28 38.86 +26 08 40.5	046
K07P11U	C2007 08 18.98406 00 28 38.96 +26 08 41.1	046
K07P11U	C2007 08 18.98481 00 28 39.03 +26 08 41.4	046
K07P11U	C2007 08 18.98627 00 28 39.19 +26 08 42.4	046
K07H15E	C2007 08 19.00017 00 19 40.12 +33 43 54.7	046
K07H15E	C2007 08 19.00120 00 19 40.00 +33 43 54.4	046
K07H15E	C2007 08 19.00208 00 19 39.82 +33 43 54.9	046
K07H15E	C2007 08 19.00297 00 19 39.68 +33 43 55.1	046
K07H15E	C2007 08 19.00383 00 19 39.59 +33 43 55.5	046
K07H15E	C2007 08 19.00471 00 19 39.52 +33 43 55.1	046
K07H15E	C2007 08 19.00558 00 19 39.42 +33 43 54.8	046
CK07N030	C2007 08 18.92626 22 04 20.39 -11 28 38.3	046
CK07N030	C2007 08 18.92838 22 04 20.29 -11 28 39.0	17.4 T
CK07N030	C2007 08 18.92926 22 04 20.20 -11 28 39.1	046
CK07N030	C2007 08 18.93014 22 04 20.17 -11 28 39.2	046
CK07N030	C2007 08 18.93102 22 04 20.15 -11 28 39.5	046
CK07N030	C2007 08 18.93189 22 04 20.08 -11 28 39.4	046
98I001	C2007 08 18.86469 21 47 24.64 -12 14 56.1	18.6 R
98I001	C2007 08 18.86575 21 47 24.63 -12 14 59.1	046
98I001	C2007 08 18.87142 21 47 24.56 -12 15 00.9	046
98I001	C2007 08 18.87234 21 47 24.51 -12 15 04.0	046
98I001	C2007 08 18.87525 21 47 24.50 -12 15 06.5	046
K07C26K	C2007 08 18.83672 20 09 33.53 -01 05 27.5	046
K07C26K	C2007 08 18.83758 20 09 33.59 -01 05 33.1	046
K07C26K	C2007 08 18.83876 20 09 33.68 -01 05 43.1	046
K07C26K	C2007 08 18.83939 20 09 33.74 -01 05 47.5	046
K07C26K	C2007 08 18.84016 20 09 33.81 -01 05 53.3	046
K07C26K	C2007 08 18.84139 20 09 33.90 -01 06 03.8	046
K07P08E	C2007 08 18.84607 20 39 06.05 -14 20 36.6	046
K07P08E	C2007 08 18.84707 20 39 06.35 -14 20 32.5	046
K07P08E	C2007 08 18.84776 20 39 06.56 -14 20 29.7	046
K07P08E	C2007 08 18.84835 20 39 06.73 -14 20 26.9	046
K07P08E	C2007 08 18.84896 20 39 06.93 -14 20 24.5	046
K07P08E	C2007 08 18.85071 20 39 07.46 -14 20 17.5	046
K05A63B	C2007 08 14.89038 20 40 22.69 -17 48 25.0	046
K05A63B	C2007 08 14.89235 20 40 22.64 -17 48 26.1	046
K05A63B	C2007 08 14.89350 20 40 22.58 -17 48 27.5	046
K05A63B	C2007 08 14.89438 20 40 22.56 -17 48 27.8	046
K05A63B	C2007 08 14.89617 20 40 22.49 -17 48 28.3	046
K05A63B	C2007 08 14.89711 20 40 22.43 -17 48 29.2	046
K05A63B	C2007 08 14.89898 20 40 22.32 -17 48 28.9	046
K05A63B	C2007 08 14.90086 20 40 22.30 -17 48 29.2	046
K05A63B	C2007 08 14.90171 20 40 22.24 -17 48 29.8	046

02060	C2007 08 14.86204	20 51 23.58 -10 07 55.5	046
02060	C2007 08 14.86294	20 51 23.56 -10 07 55.7	046
02060	C2007 08 14.86439	20 51 23.55 -10 07 55.6	046
02060	C2007 08 14.86566	20 51 23.54 -10 07 55.6	046
02060	C2007 08 14.86648	20 51 23.53 -10 07 55.7	046
K07C26K	C2007 08 14.88014	20 03 26.54 +08 19 18.2	046
K07C26K	C2007 08 14.88068	20 03 26.59 +08 19 13.5	046
K07C26K	C2007 08 14.88124	20 03 26.68 +08 19 07.9	046
K07C26K	C2007 08 14.88177	20 03 26.69 +08 19 03.2	046
K07C26K	C2007 08 14.88229	20 03 26.75 +08 18 58.2	046
K07C26K	C2007 08 14.88284	20 03 26.81 +08 18 53.6	046
K07C26K	C2007 08 14.88337	20 03 26.80 +08 18 47.9	046
K07P08A	C2007 08 14.89997	20 40 07.23 -17 47 32.5	046
K07P08A	C2007 08 14.90171	20 40 07.07 -17 47 34.3	046
K07P08E	C2007 08 14.90910	20 15 43.21 -19 20 59.8	046
K07P08E	C2007 08 14.91163	20 15 44.14 -19 20 47.5	046
K07P08E	C2007 08 14.91270	20 15 44.53 -19 20 42.4	046
K07P08E	C2007 08 14.91322	20 15 44.72 -19 20 39.6	046
K07P08E	C2007 08 14.91429	20 15 45.12 -19 20 34.3	046
K07P08E	C2007 08 14.91481	20 15 45.32 -19 20 32.0	046
BE25728	C2007 08 14.85524	20 07 45.91 -10 44 17.3	17.9 R 046
BE25728	C2007 08 14.85600	20 07 44.87 -10 44 18.8	046
BE25728	C2007 08 14.85636	20 07 44.50 -10 44 21.0	046
BE25728	C2007 08 14.85749	20 07 43.00 -10 44 21.6	046
BE25728	C2007 08 14.85785	20 07 42.54 -10 44 22.3	046
BE29710	C2007 08 13.94897	00 19 48.71 +25 10 05.7	046
CK07M010	C2007 08 13.85041	19 58 01.76 +00 14 08.0	046
CK07M010	C2007 08 13.85676	19 58 01.48 +00 14 07.4	046
CK07M010	C2007 08 13.85808	19 58 01.40 +00 14 07.2	046
CK06002F	C2007 08 13.99613	21 46 06.43 -08 34 36.5	046
CK06002F	C2007 08 13.99845	21 46 06.34 -08 34 36.4	046
02060	C2007 08 13.92735	20 51 35.04 -10 07 01.1	046
02060	C2007 08 13.92828	20 51 34.98 -10 06 59.7	046
02060	C2007 08 13.92911	20 51 34.97 -10 06 59.8	046
02060	C2007 08 13.92986	20 51 34.95 -10 06 59.7	046
02060	C2007 08 13.93089	20 51 34.94 -10 07 00.0	046
02060	C2007 08 13.93171	20 51 34.93 -10 07 00.1	046
02060	C2007 08 13.93249	20 51 34.92 -10 07 00.2	046
26761	C2007 08 13.99188	21 46 44.03 -08 35 37.2	046
26761	C2007 08 13.99274	21 46 44.00 -08 35 38.0	046
26761	C2007 08 13.99332	21 46 43.95 -08 35 37.5	046
26761	C2007 08 13.99613	21 46 43.87 -08 35 39.1	046
26761	C2007 08 13.99845	21 46 43.75 -08 35 39.4	046
26761	C2007 08 13.99980	21 46 43.75 -08 35 39.6	046
CK06002F	C2007 08 13.99188	21 46 06.59 -08 34 36.6	046
CK06002F	C2007 08 13.99274	21 46 06.56 -08 34 36.7	046

CK06002F	C2007 08 13.99332	21 46 06.54 -08 34 36.6	046
CK06002F	C2007 08 13.99388	21 46 06.52 -08 34 36.5	046
CK06002F	C2007 08 13.99442	21 46 06.49 -08 34 36.8	046
BE29710	C2007 08 13.94295	00 19 48.11 +25 10 01.1	17.8 R 046
BE29710	C2007 08 13.94418	00 19 48.21 +25 10 02.1	046
BE29710	C2007 08 13.94498	00 19 48.30 +25 10 02.5	046
BE29710	C2007 08 13.94572	00 19 48.36 +25 10 02.8	046
BE29710	C2007 08 13.94662	00 19 48.47 +25 10 04.2	046
BE29710	C2007 08 13.94741	00 19 48.54 +25 10 04.6	046
K07C26K	C2007 08 13.83165	20 01 46.62 +11 00 36.5	046
K07C26K	C2007 08 13.83318	20 01 46.70 +11 00 21.6	17.0 R 046
K07C26K	C2007 08 13.83392	20 01 46.78 +11 00 14.9	046
K07C26K	C2007 08 13.83458	20 01 46.85 +11 00 08.3	046
K07C26K	C2007 08 13.83528	20 01 46.89 +11 00 01.8	046
K07C26K	C2007 08 13.83599	20 01 46.95 +10 59 55.1	046
K07P08A	C2007 08 13.89042	20 41 28.39 -17 41 40.9	046
K07P08A	C2007 08 13.89150	20 41 28.31 -17 41 41.2	046
K07P08A	C2007 08 13.89241	20 41 28.28 -17 41 41.4	046
K07P08A	C2007 08 13.89537	20 41 27.99 -17 41 41.9	046
K07P08A	C2007 08 13.89626	20 41 27.91 -17 41 41.8	046
K07P08A	C2007 08 13.89807	20 41 27.81 -17 41 43.8	046
K07P08A	C2007 08 13.89898	20 41 27.75 -17 41 42.8	046
K07P08A	C2007 08 13.90094	20 41 27.51 -17 41 45.3	046
K07P08A	C2007 08 13.90211	20 41 27.49 -17 41 45.7	046